

## บทที่ 4

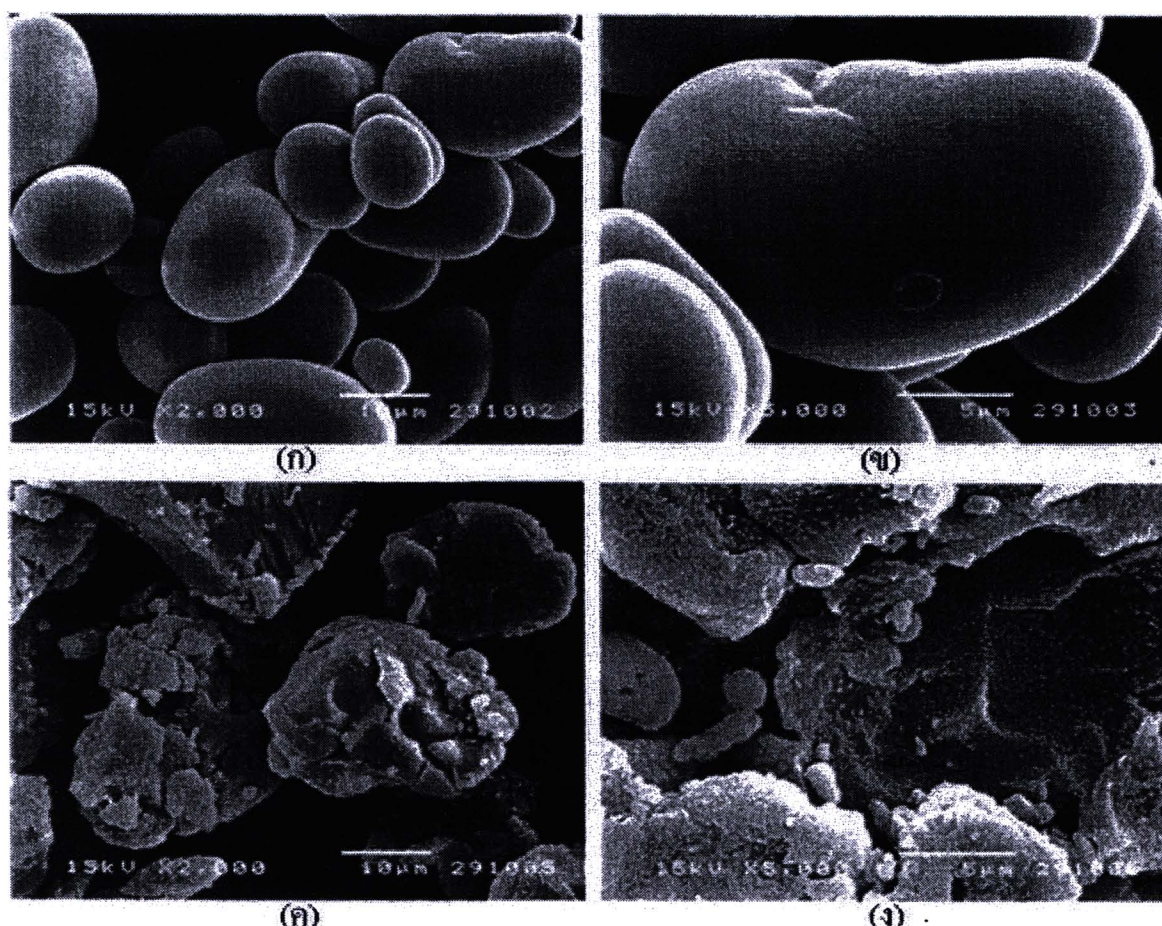
### ผลการวิจัยและอภิปรายผล

การศึกษาวิจัยแบ่งออกเป็น 4 ขั้นตอน คือ ขั้นแรกทำการศึกษาคุณสมบัติของแป้งถั่วเขียวดัดแปรด้วยค่าใน และก่อช่อง ต่อมาทำการศึกษาผลของสารเพิ่มความชื้นบุ่นที่มีต่อความหนืดของสารกระเจรษด้วยการเปลี่ยนตัวเป็นถั่วเขียวดัดแปร จากนั้นทำการศึกษาผลของสารเพิ่มความชื้นบุ่นที่มีต่อฟิล์มแป้งถั่วเขียวดัดแปร และทำการศึกษาผลของสารเพิ่มความชื้นบุ่นที่มีต่อคุณสมบัติของกระเจรษเคลื่อนฟิล์มแป้งถั่วเขียวดัดแปร

#### 1. คุณสมบัติของแป้งถั่วเขียวดัดแปร

##### 1.1 ลักษณะภายนอกของแป้งถั่วเขียวและแป้งถั่วเขียวดัดแปร

ผลการศึกษาลักษณะภายนอกของแป้งถั่วเขียวพบว่าแป้งถั่วเขียวเป็นผงละเอียด มีสีเขียวอ่อน และเมื่อส่องด้วยกล้องถ่ายภาพอิเลคทรอนแบบส่องกราด (scanning electron microscope; SEM) ได้ผลดังแสดงในภาพที่ 7



ภาพที่ 7 ลักษณะภายนอกของแป้งถั่วเขียวก่อนการดัดแปรที่กำลังขยาย 2,000 และ 5,000 เท่า (ก และ ข ตามลำดับ) และ แป้งถั่วเขียวดัดแปร ที่กำลังขยาย 2,000 และ 5,000 เท่า (ค และ ง ตามลำดับ) ด้วยกล้องถ่ายภาพอิเลคทรอนแบบส่องกราด (SEM)

จากภาพที่ 7 พนว่าเม็ดแป้งถั่วเขียวก่อนและหลังการคัดแปร โดยใช้ค่าในแอลกออล์มีลักษณะพิเศษต่างกัน โดยแป้งถั่วเขียวมีลักษณะเป็นรูปทรงกลมหรือกลมรีคล้ายไจ มีผิวเรียบและรอยเว้าตามธรรมชาติ ซึ่งเม็ดแป้งถั่วเขียวขนาดใหญ่มีรูปร่างคล้ายไจส่วนขนาดเล็กมีรูปร่างกลมมีขนาดประมาณ 7 - 24 ไมครอน สอดคล้องกับผลการศึกษาของ Hoover และคณะ (1997) ที่พนว่าเม็ดแป้งถั่วเขียวมีขนาด 7.1 - 26.0 ไมครอน ผลการศึกษาของ Liu และ Shen (2007) พนว่าเม็ดแป้งถั่วเขียวมีขนาด 6.5 - 32.7 ไมครอน และผลการศึกษาของ Kim และคณะ (2007) พนว่าเม็ดแป้งถั่วเขียวมีขนาด 10 - 30 ไมครอน ซึ่งเม็ดแป้งจะมีขนาด รูปร่าง และลักษณะแตกต่างกันไปขึ้นอยู่กับแหล่งที่มาของแป้งนั้นๆ (กล้านรงค์ ศรีรัตน์ และ เกื้อฤทธิ์ ปะจอมขวัญ, 2550)

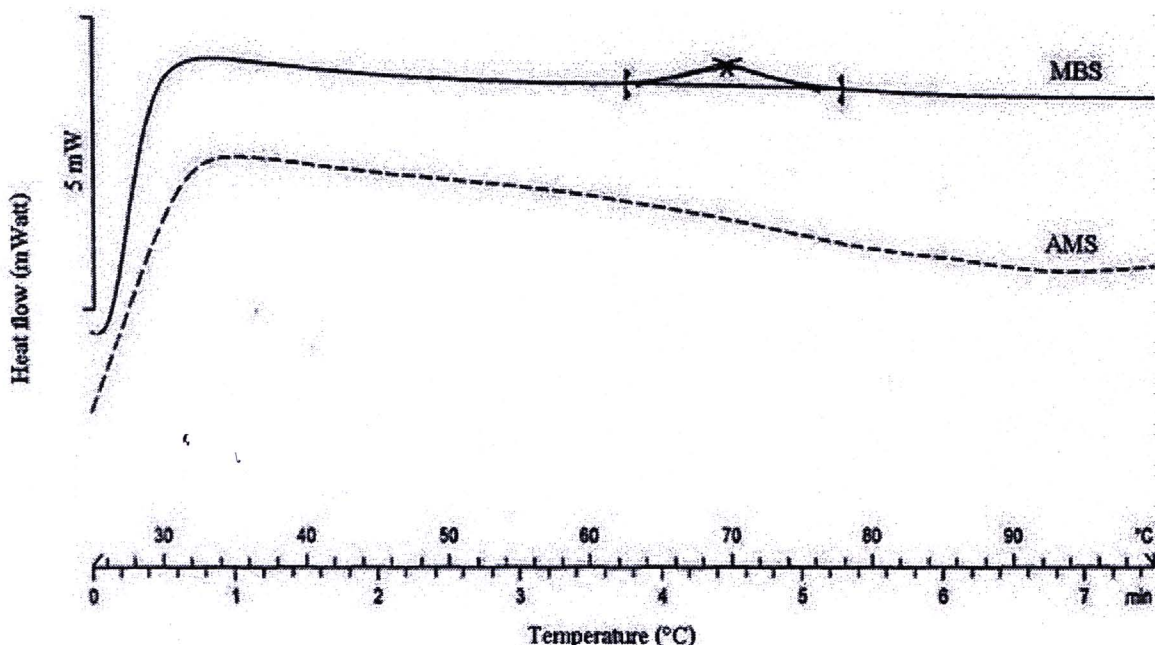
เมื่อทำการคัดแปรแป้งถั่วเขียวด้วยค่าคงในแอลกออล์พนว่าสีของแป้งถั่วเขียวดัดแปรเปลี่ยนไปเป็นสีเขียวอมเหลืองอ่อนๆ และเมื่อส่องด้วยกล้องถ่ายภาพอิเลคทรอนแบบส่องกราด (ภาพที่ 7) พนว่าลักษณะพิเศษของแป้งถั่วเขียวดัดแปรมีความแตกต่างจากแป้งถั่วเขียวก่อนคัดแปร คือ มีรูปร่างไม่แน่นอน ผิวมีร่องรอยและไม่เรียบ เนื่องจากเมื่อไม่เลกูลของแป้งอยู่ในสารละลายด่างเข้มข้น โปรตอน (proton) จากหมู่ไฮดรอกซิล (hydroxyl group; - OH group) แยกตัวออกทำให้ไม่เลกูลของแป้งมีประจุเป็นลบ (negative charge) เกิดการผลักกันทำให้เม็ดแป้งบวนพอง เกลียวคู่ (double - helical) ของอะมิโนเพกตินและอะมิโลสในแป้งที่ขาดเป็นวงคลายตัวหรือแยกออกจากกันและเรียงตัวไม่เป็นระเบียบ ส่งผลให้ความเป็นผลลัพธ์ของแป้งถูกทำลาย เม็ดแป้งที่พองตัวเต็มที่จึงแตกตัวออก (Chen and Jane, 1994b) ซึ่งคล้ายคลึงกับผลการศึกษาของชิราฐ ปุทุมชนทรัพย์ (2553) และ Chen และ Jane (1994a) ที่พนว่าแป้งข้าวเหนียว และ granular cold - water - soluble starch จากแป้งข้าวโพดซึ่งคัดแปรโดยใช้ค่าคงในแอลกออล์ มีรูปร่างลักษณะเปลี่ยนไปคือ ไม่พบลักษณะเป็นเม็ดแป้งโดยมีการจับตัวกันเป็นก้อน และผิวไม่เรียบ

## 1.2 คุณสมบัติด้านอุณหภูมิของแป้งถั่วเขียวและแป้งถั่วเขียวดัดแปร

ไม่เลกูลของแป้งมีโครงสร้างแบบเกลียวคู่ (double - helical) ซึ่งประกอบด้วยหมู่ไฮดรอกซิล (hydroxyl group) จำนวนมาก ยึดเกาะกันด้วยพันธะไฮโคลเจน และเรียงตัวอยู่ในร่างแท่ ซึ่งปกติในสารกระจาดตัวน้ำแป้ง เม็ดแป้งไม่คุ้มครองตัวได้น้อย จึงละลายในน้ำเย็น ได้น้อย เมื่อให้ความร้อนกับสารกระจาดตัวน้ำแป้ง ทำให้พันธะไฮโคลเจนภายในไม่เลกูลของแป้งถูกทำลายและสายพอลิเมอร์แยกออกจากกัน จึงมีการคุณน้ำแล้วพองตัวย่างรวดเร็ว เกิดการเปลี่ยนรูปร่างและโครงสร้าง ทำให้เปลี่ยนแปลงสถานะจากของแข็ง ไปเป็นเจล เรียกว่าการเกิดเจลาทีไนเซชั่น (gelatinization) โดยเกิดที่ช่วงอุณหภูมินี้ๆ (กล้านรงค์ ศรีรัตน์ และ เกื้อฤทธิ์ ปะจอมขวัญ, 2550; Kim et al., 2007)

จากการศึกษาคุณสมบัติด้านอุณหภูมิที่มีผลต่อการเกิดเจลาทีไนเซชั่น (gelatinization temperature; Tg) ของแป้งถั่วเขียว ได้กราฟคุณสมบัติด้านอุณหภูมิ (thermogram) โดยเริ่มพนการคุณความร้อน (onset temperature; To) ที่อุณหภูมิ  $63.59 \pm 2.12^\circ\text{C}$  มีการคุณความร้อนสูงสุด (peak temperature; Tp) ที่อุณหภูมิ  $69.55 \pm 0.78^\circ\text{C}$  และการคุณความร้อนสิ้นสุด (endset or conclusion temperature; Tc) ที่อุณหภูมิ  $75.97 \pm 0.53^\circ\text{C}$  และช่วงอุณหภูมิของการคุณความร้อนซึ่งสัมพันธ์กับการเกิดเจลาทีไนเซชั่น (gelatinization Endotherm) ของแป้งถั่วเขียว เท่ากับ  $12.38 \pm 2.61^\circ\text{C}$  พลังงานที่ใช้ในการเกิดเจลาทีไนเซชั่น (enthalpy,  $\Delta H$ ) เท่ากับ  $10.77 \pm 0.79 \text{ J/g}$  (ภาพที่ 8) โดยช่วงอุณหภูมิของการเกิดเจลาทีไนเซชั่น ( $Tc - To$ ) และพลังงานที่ใช้ในการเกิดเจลาทีไนเซชั่น ( $\Delta H$ ) ยังมีค่ามากยิ่งแสดงถึง โครงสร้างผลลัพธ์ของเม็ดแป้งมีความแข็งแรงมาก (Hoover et al., 1997) คล้ายกับผลการศึกษาของ Kim และคณะ (2007) ที่พนว่าแป้งถั่วเขียว 5 สายพันธุ์ในประเทศไทย มี  $To$  เท่ากับ  $54.6 \pm 0.14$  ถึง  $60.2 \pm 0.49^\circ\text{C}$  มี  $Tp$  เท่ากับ  $61.2 \pm 0.14$  ถึง  $66.5 \pm 0.28^\circ\text{C}$  มี  $Tc$  เท่ากับ  $68.6 \pm 0.07$  ถึง  $73.0 \pm 0.78^\circ\text{C}$  และช่วงอุณหภูมิเจลาทีไนเซชั่นของแป้งถั่วเขียวเท่ากับ  $12.1 - 14.4^\circ\text{C}$  มี

ผลลัพธ์ที่ใช้ในการเกิดเจลาทีไนเซชั่นเท่ากับ  $11.56 \pm 0.09$  ถึง  $13.15 \pm 0.00$  J/g นอกจากนี้ยังสอดคล้องกับผลการศึกษาของ Hoover และคณะ (1997) และ Chang และคณะ (2006) ซึ่งมี  $T_g$  เท่ากับ  $69^{\circ}\text{C}$  และ  $64.5^{\circ}\text{C}$  ตามลำดับ



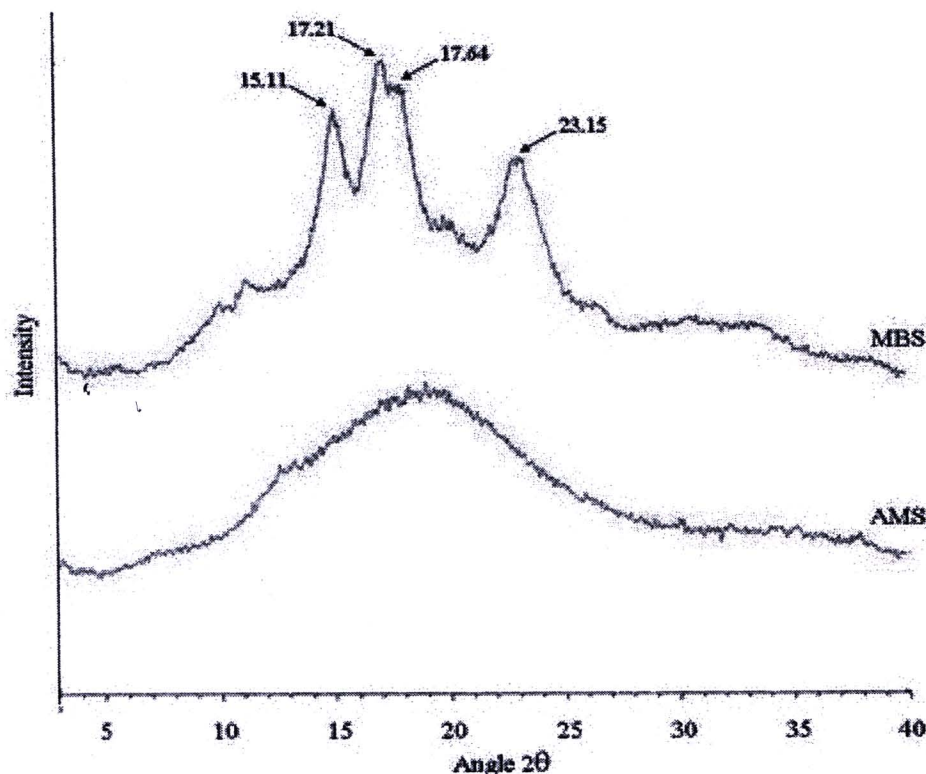
ภาพที่ 8 คุณสมบัติด้านอุณหภูมิที่มีผลต่อการเปลี่ยนแปลงสถานะจากของแข็งไปเป็นเหลวของแป้งถั่วเขียวและแป้งถั่วเขียวตัดแปร โดยมีอัตราส่วนระหว่างของแข็งกับน้ำ (30: 70 w/v)

ผลการศึกษาคุณสมบัติด้านอุณหภูมิของแป้งถั่วเขียวตัดแปรซึ่งทดสอบที่อุณหภูมิระหว่าง  $25 - 100^{\circ}\text{C}$  พบว่าไม่มีช่วงอุณหภูมิของเจลาทีไนเซชั่น (ภาพที่ 8) เนื่องจากการตัดแปรด้วยด่างในแอลกอฮอล์ ทำให้โครงสร้างแบบเกลียวคู่ (double - helical) ของอะมิโนเพตตินและอะมิโนโซดินในโครงสร้างพลีกของแป้งถูกทำให้แยกออกจากกัน ด้วยแอลกอฮอล์ พันธะไฮโครเจนภายในและระหว่างหมู่ไฮโครอกซิลของเม็ดแป้งถูกทำลาย การยึดเกาะทางพันธะลดลง โครงสร้างพลีกหายไปเหลือแต่ส่วนของสัมฐาน เมื่อเม็ดแป้งที่ตัดแปรแล้วสัมผัสกับน้ำจึงดูดน้ำแล้วพองตัว เหมือนกับการเกิดเจลาทีไนเซชั่นด้วยความร้อนที่ทำให้พันธะที่อยู่ภายในและระหว่างโมเลกุลของเม็ดแป้งถูกทำลาย (กล้ามรังค์ ศรีรอด และ เกื้อถูล ปิยะชนกวงศ์, 2550; Chen and Jane ,1994b; Kaur et al., 2010) ซึ่งสอดคล้องกับผลการศึกษาของ Chen และ Jane (1994b) ที่พบว่าไม่มีช่วงอุณหภูมิของเจลาทีไนเซชั่น (gelatinization endotherm) แสดงในกราฟคุณสมบัติด้านอุณหภูมิ ของแป้งที่ตัดแปรด้วยด่างในแอลกอฮอล์ ช่วงอุณหภูมิระหว่าง  $25 - 100^{\circ}\text{C}$  นอกจากนี้ Kaur และคณะ (2010) ยังพบว่าแป้งถั่วโพดและแป้งมันฝรั่งที่ตัดแปรด้วยด่างในแอลกอฮอล์ไม่พบช่วงของอุณหภูมิเจลาทีไนเซชั่นระหว่างอุณหภูมิ  $30 - 120^{\circ}\text{C}$

### 1.3 คุณสมบัติโครงสร้างพลีกของแป้งถั่วเขียวและแป้งถั่วเขียวตัดแปร

ผลการศึกษาโครงสร้างพลีกของแป้งถั่วเขียวและแป้งถั่วเขียวตัดแปร โดยใช้วิธีการศึกษารูปแบบการเดี่ยวบนรังสีเอกซ์ ด้วยเครื่อง x-ray diffractometer (XRD) พบว่าแป้งถั่วเขียวมีพีค (peak) การเดี่ยวบนของรังสีเอกซ์ เกิดขึ้นชัดเจนที่ตำแหน่ง  $15.11^{\circ}2\theta$  มีพีคที่ไม่ชัดเจนซ่อนทับกันที่ตำแหน่ง  $17.21^{\circ}2\theta$  และ  $17.64^{\circ}2\theta$  และมีพีคที่ตำแหน่ง  $23.15^{\circ}2\theta$  (ดังแสดงในภาพที่ 9) จากผลการทดลองนี้มีความคล้ายคลึงกับการศึกษาของ Kim และคณะ (2007)

ที่พบว่าเปลี่ยนถัวเขียวจาก 5 สายพันธุ์ในประเทศไทย มีพีคที่ตำแหน่ง  $15.12^{\circ}2\theta$  มีพีคไม่ชัดเจนซ้อนทับกันที่ตำแหน่ง  $17.24^{\circ}2\theta$  และ  $17.96^{\circ}2\theta$  และมีพีคที่ตำแหน่ง  $23.06^{\circ}2\theta$



ภาพที่ 9 รูปแบบการเลี้ยวเบนรังสีเอกซ์ของเปลี่ยนถัวเขียวและเปลี่ยนถัวเขียวดัดแปร ด้วยเครื่อง x - ray diffractometer (XRD)

ในขณะที่เปลี่ยนถัวเขียวดัดแปร มีรูปแบบการเลี้ยวเบนรังสีเอกซ์เป็นแบบ V (ภาพที่ 9) มีลักษณะเป็นเกลียวเดี่ยว เนื่องจากโครงสร้างแบบเกลียวคู่ (double - helical) ของอะมิโนเพติดและอะมิโน酇ไนเป็นถูกทำให้แยกออกจากกันด้วยแอลกอฮอล์เหมือนกับการให้ความร้อน โครงสร้างหลักในเม็ดเปลี่ยนถูกทำลายเหลือเพียงส่วนของสัมฐาน โนเมกุลของเปลี่ยนถัวเขียวแบบไม่แน่นอนและเริ่งตัวกันอย่างไม่เป็นระเบียบ แสดงให้เห็นว่าเปลี่ยนถัวเขียวดัดแปร ซึ่งคล้ายกับผลการศึกษาของ ชิราฐ ปทุมชนทรัพย์ (2553) ที่ศึกษาผลของเปลี่ยนถัวเขียวที่ผ่านการดัดแปรด้วยค่าคงในแอลกอฮอล์, Chen และ Jane (1994) ที่ศึกษาคุณสมบัติของเปลี่ยนถัวเขียวในน้ำเย็นที่เตรียมด้วยค่าคงในแอลกอฮอล์ และ Kaur และคณะ (2010) ที่ศึกษาผลของวิธีดัดแปรเปลี่ยนถัวเขียวดัดแปรด้วยค่าคงในแอลกอฮอล์ พนว่าเปลี่ยนถัวเขียวที่ผ่านการดัดแปรด้วยค่าคงในแอลกอฮอล์ มีรูปแบบการเลี้ยวเบนรังสีเอกซ์เป็นแบบ V

#### 1.4 การพองตัวและความสามารถในการละลายของเปลี่ยนถัวเขียวและเปลี่ยนถัวเขียวดัดแปร

ผลการศึกษาการพองตัวของเปลี่ยนถัวเขียวและเปลี่ยนถัวเขียวดัดแปรในน้ำกลั่น พนว่าเปลี่ยนถัวเขียวก่อนการดัดแปร ไม่พองตัวและไม่ละลายในน้ำเย็น แต่เปลี่ยนถัวเขียวดัดแปรสามารถละลายในน้ำได้สาระจะตัวที่มีความหนืดลักษณะค่อนข้างอ่อนสีเหลืองจางๆ ซึ่งเปลี่ยนถัวเขียวมีโนเมกุลของเปลี่ยนที่ประกอบด้วยหมู่ไฮดรอกซิลจำนวนมากยึดเกาะกันด้วยพันธะไฮโดรเจน เริ่งตัวแบบเกลียวคู่ในร่างแทของโครงสร้างหลักทำให้มีค่าเปลี่ยนถัวเขียวแรง จึงสูญเสียน้ำและพองตัวได้น้อย ทำให้ละลายในน้ำเย็นได้ยาก (กล้านรงค์ ศรีรัต และ กีอุล ปิยะジョンวัณย์, 2550; Hoover et al.,

1997; Kim et al., 2007) โดยผลการศึกษาการพองตัวและการละลายของแป้งถั่วเขียวและแป้งถั่วเขียวคัดแปรแสดงในตารางที่ 3

ตารางที่ 3 ความสามารถในการพองตัวและการละลายของสารกระจาดตัวแป้งถั่วเขียวและแป้งถั่วเขียวคัดแปร

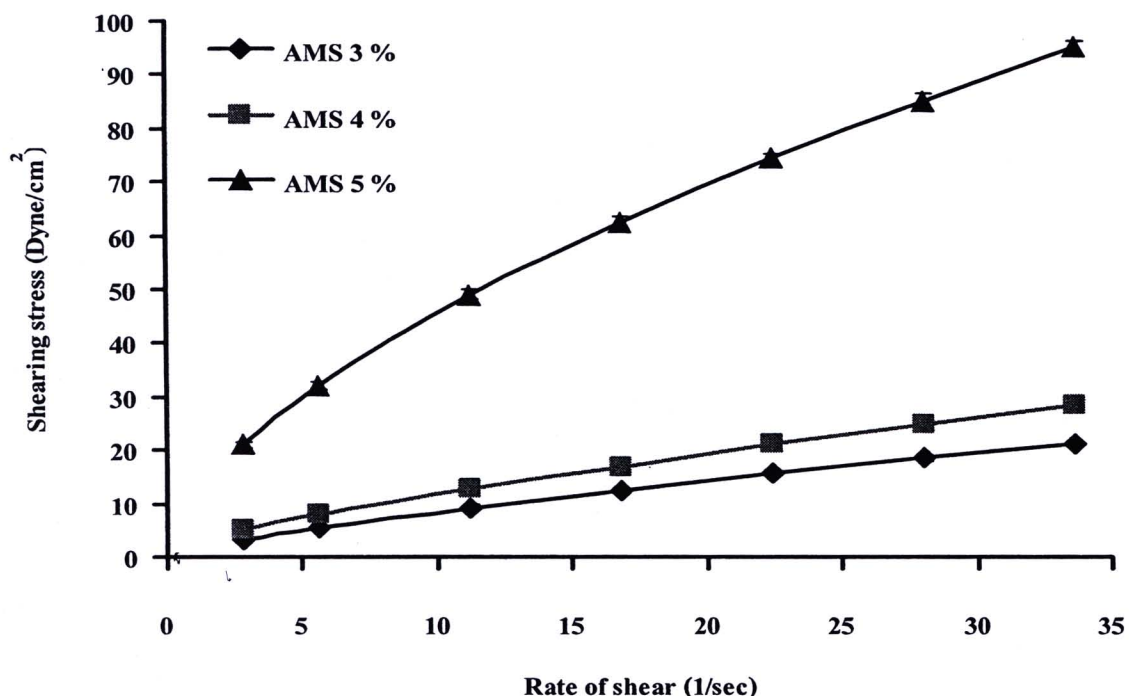
ชนิดของแป้ง	การพองตัว (เท่า)	การละลาย (%)
แป้งถั่วเขียว	N/A	$0.27 \pm 0.13$
แป้งถั่วเขียวคัดแปร	$5.17 \pm 0.26$	$27.91 \pm 6.83$

แต่ละค่าแสดงในรูปของค่าเฉลี่ย ± ส่วนเบี่ยงเบนมาตรฐานค่าละ 3 ตัวอย่าง

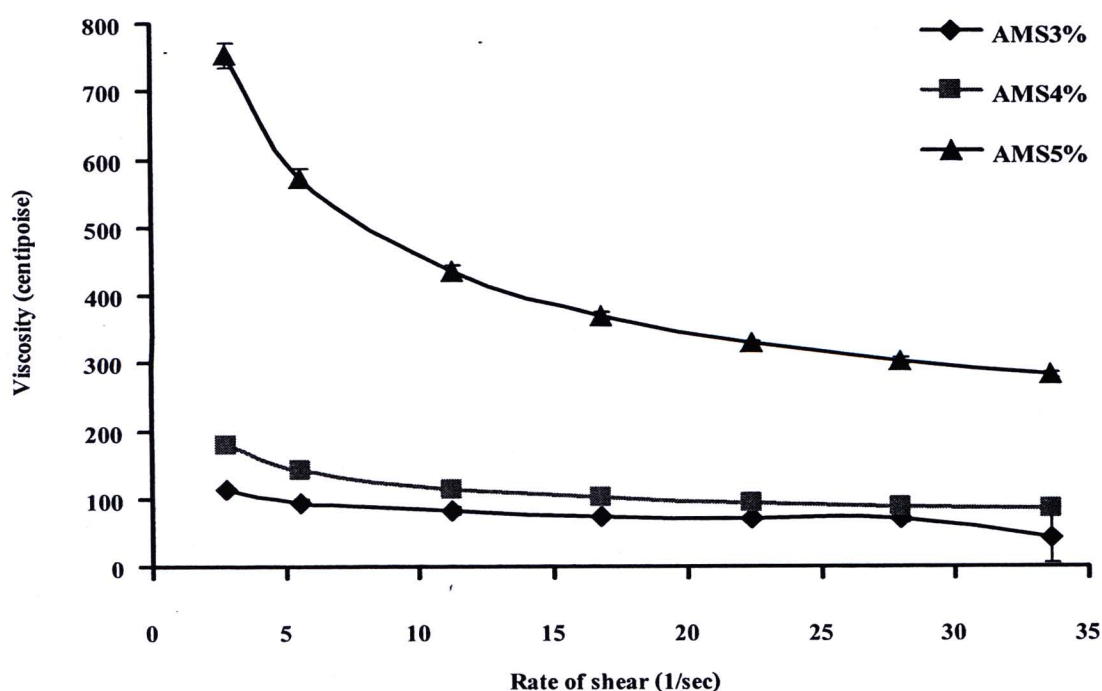
แต่แป้งถั่วเขียวคัดแปรสามารถละลายน้ำได้เนื่องจากการคัดแปรแป้งโดยใช้ค่าต่อไปนี้ โครงการสร้างของอะมิโลสและอะมิโลเพกตินในเม็ดแป้งแยกออกจากกัน พันธะไฮโดรเจนถูกทำลายเหมือนกับการให้ความร้อน เม็ดแป้งสามารถดูดซึมน้ำ พองตัวขยายใหญ่ขึ้น และบางส่วนของแป้งสามารถละลายออกมาก เนื่องจากไม่เกิดกลุ่มของน้ำเข้ามาจับกับหมู่ไฮดรอกซิลที่เป็นอิสระ (กล้า้มรงค์ ศรีรอด และ เกื้อถูล ปีบะจอมหัวญุ, 2550; Chen and Jane, 1994b) คล้ายกับผลการศึกษาของ Chen และ Jane (1994a) ที่พบว่าแป้งที่คัดแปรค่วยค่าต่อไปนี้ แล้วสามารถละลายในน้ำเย็น ได้ จึงอนุญาตให้เป็นแป้ง ความเข้มข้นของเอทานอล ความเข้มข้นของโซเดียมไฮดรอกไซด์ และอุณหภูมิที่ใช้ทำปฏิกิริยา โดยแป้งที่คัดแปรแล้วสามารถละลายในน้ำเย็น ได้ 70 - 90 % เมื่อใช้ความเข้มข้นของเอทานอลต่อ ความเข้มข้นของโซเดียมไฮดรอกไซด์สูง และอุณหภูมิที่ใช้ทำปฏิกิริยาสูง คล้ายคลึงกับผลการศึกษาของชิราฐ ปทุมชนทรัพย์ (2553) ที่พบว่าแป้งข้าวเหนียวมีการพองตัว  $1.66 \pm 0.12$  เท่า และละลายในน้ำกลั่น  $0.48 \pm 3.61$  % ในขณะที่แป้งข้าวเหนียวคัดแปรค่วยค่าต่อไปนี้ แล้วสามารถละลายในน้ำกลั่น  $4.11 \pm 0.09$  เท่า และ  $57.11 \pm 1.66$  % ตามลำดับ และคล้ายกับผลการศึกษาของ Kaur และคณะ (2010) ที่พบว่าแป้งสาครและแป้งข้าวโพดไม่ละลายน้ำ ในขณะที่แป้งสาครและแป้งข้าวโพดที่คัดแปรค่วยค่าต่อไปนี้ สามารถละลายในน้ำได้  $91.4 \pm 0.5$  % และ  $15.4 \pm 1.0$  % ตามลำดับ

### 1.5 ความสามารถของสารกระจาดตัวแป้งถั่วเขียวและแป้งถั่วเขียวคัดแปร

ผลการศึกษาความสามารถของสารกระจาดตัวแป้งถั่วเขียวและแป้งถั่วเขียวคัดแปรที่ความเข้มข้น 3 %, 4 % และ 5 % (w/w) ในน้ำกลั่น พบว่าสารกระจาดตัวแป้งถั่วเขียวไม่สามารถวัดความหนืดได้ เนื่องจากแป้งถั่วเขียวในสารกระจาดตัวมีการดูดซึมน้ำและพองตัวได้น้อย ทำให้คละลายในน้ำเข็นได้ยาก (กล้า้มรงค์ ศรีรอด และ เกื้อถูล ปีบะจอมหัวญุ, 2550; Hoover et al., 1997; Kim et al., 2007) สำหรับสารกระจาดตัวแป้งถั่วเขียวคัดแปรพบว่าเมื่อเพิ่มอัตราการเฉือน (shear rate) ทำให้แรงต้าน (shearing stress) ของสารกระจาดตัวแป้งถั่วเขียวคัดแปรมีค่าเพิ่มขึ้นในอัตราที่ลดลง ซึ่งสัมพันธ์กับค่าความหนืดของสารกระจาดตัวแป้งถั่วเขียวคัดแปรที่ลดลงคู่แข่งกัน แสดงถึงการให้ลักษณะของสารกระจาดตัวแป้งถั่วเขียวคัดแปรเป็นแบบ pseudoplastic ทุกความเข้มข้น โดยสารกระจาดตัวที่มีความเข้มข้นน้อยกว่าจะมีลักษณะการไหลเป็นแบบ newtonion มากกว่า (Bertuzzi, Armada and Gottifredi, 2007) ดังแสดงในภาพที่ 10



ภาพที่ 10 การไฟลของสารกระเจ้ายตัวเป็นถ้วนเขียวดัดแปร 3 %, 4 % และ 5 % (w/w) ที่อุณหภูมิห้อง ( $26^{\circ}\text{C}$ ) แต่ละค่าแสดงในรูปของค่าเฉลี่ย  $\pm$  ส่วนเบี่ยงเบนมาตรฐานค่าละ 3 ตัวอย่าง



ภาพที่ 11 ความหนืดของสารกระเจ้ายตัวเป็นถ้วนเขียวดัดแปร 3 %, 4 % และ 5 % (w/w) ที่อุณหภูมิห้อง ( $26^{\circ}\text{C}$ ) แต่ละค่าแสดงในรูปของค่าเฉลี่ย  $\pm$  ส่วนเบี่ยงเบนมาตรฐานค่าละ 3 ตัวอย่าง

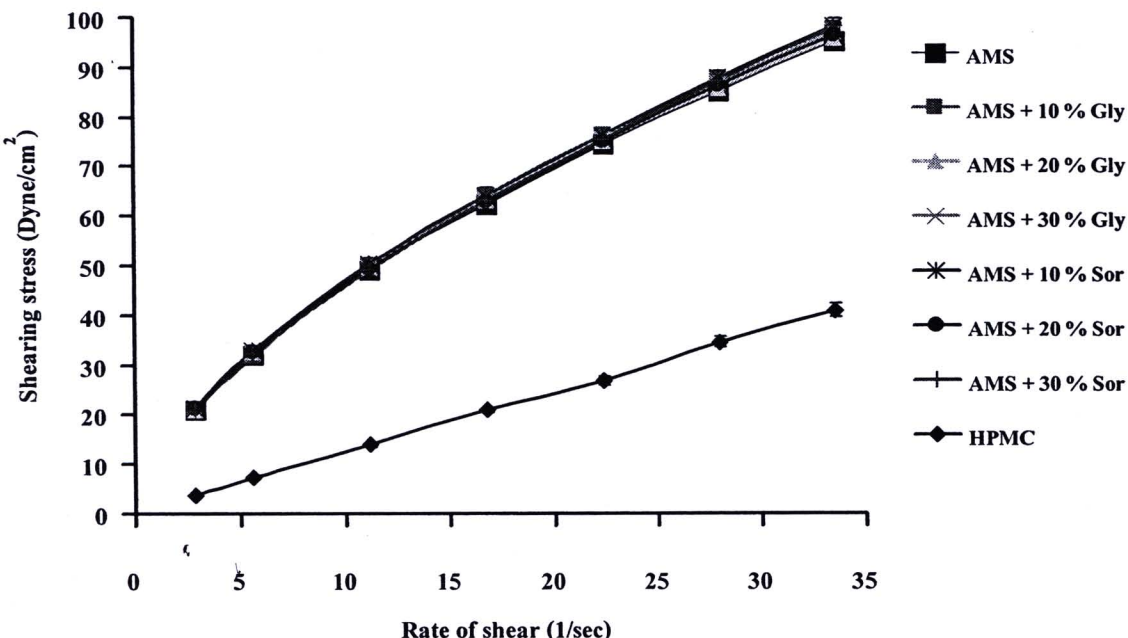
ภาพที่ 11 แสดงการความหนืดของสารกระายตัวเป็นถ้วนเขียวดัดแปรที่ความเข้มข้นต่างๆ โดยพบว่าเมื่อเพิ่มอัตราเฉือนทำให้ความหนืดของสารกระายตัวเป็นถ้วนเขียวดัดแปรมีค่าลดลง ดังนี้จึงได้กำหนดสภาวะเพื่อหาค่าความหนืดของสารละลายเป็นถ้วนเขียวดัดแปร โดยใช้เครื่องวัดความหนืด Brookfield DVIII หัว spindle No. 34 ความเร็วในการหมุน 100 รอบ/นาที อัตราการเฉือน 28 sec<sup>-1</sup> ที่อุณหภูมิห้อง 26 °C พบว่าสารกระายตัวเป็นถ้วนเขียวดัดแปร 3 %, 4 % และ 5 % มีค่าความหนืด  $69.52 \pm 4.19$ ,  $88.45 \pm 1.15$  และ  $304.17 \pm 5.08$  centipoise ตามลำดับ การที่สารกระายตัวเป็นถ้วนเขียวดัดแปรมีความหนืดเพิ่มขึ้นเมื่อปริมาณความเข้มข้นเพิ่มขึ้น เนื่องจากการดัดแปรด้วยค่าใน宣告ขอสอล์ ทำให้พันธะไฮโครเจนภายในและระหว่างหมู่ไฮดรอกซิลของเม็ดเป็นถูกทำลาย การยึดเกาะทางพันธะลดลง โครงสร้างพลีกหายไปเหลือแต่ส่วนอสัมฐาน เมื่อเป็นที่ดัดแปรแล้วส่วนผักกันน้ำไม่เลกอกของน้ำจึงเข้ามายังกับหมู่ไฮดรอกซิลที่เป็นอิสระ เป็นมีการคุกชุมน้ำและพองตัวขยายใหญ่ขึ้น น้ำบริเวณรอบๆ สายพอลิเมอร์ของเป็นเหลืองน้ำขยุง ทำให้เคลื่อนไหวได้ยากจึงเกิดความหนืดขึ้น ดังนั้นเมื่อปริมาณความเข้มข้นของเป็นถ้วนเขียวดัดแปรเพิ่มขึ้น สารกระายตัวจะมีไม่เลกอกของน้ำรอบๆ สายพอลิเมอร์ของเป็นน้อยกว่าทำให้เคลื่อนไหวได้ยากกว่า จึงมีความหนืดเพิ่มขึ้น (กล้ามวงศ์ ศรีรุต และเก็อกุล ปีบะจอมขวัญ, 2550; Chen and Jane, 1994b; Bertuzzi et al., 2007; Kaur et al., 2010) สถาคล้องกับผลการศึกษาของ Bertuzzi และคณะ (2007) ที่พบว่าสารกระายตัวที่เตรียมฟิล์มจากเป็นข้าวโพดที่มีอะมิโนสูง ด้วยวิธีดอทอฟฟ์และเติมด้วย 0.125 M โซเดียมไฮดรอกไซด์ โดยเตรียมเป็นสารกระายตัวที่ 5 %, 7.5 % และ 10 % มีการไหลเป็นแบบ pseudoplastic และปริมาณความเข้มข้นที่เพิ่มขึ้นทำให้ความหนืดเพิ่มขึ้น

เนื่องจากสารกระายตัวที่มีความหนืดสูงมีแนวโน้มลดความสามารถในการเปียก เพราะสามารถกระยาดตัวได้เมื่อนำไปเคลือบกระดาษ ทำให้การแผ่กระยาดของหยดน้ำท่อสูบันกระดาษลดลง (Khan and Nasef, 2009) ดังนี้จึงทำการเลือกสารกระายตัวเป็นถ้วนเขียวดัดแปร 5 % เพื่อนำไปเคลือบกระดาษ โดยศึกษาผลของสารเพิ่มความยืดหยุ่น คือ กลีเซอรอลและซอร์บิทอลต่อความหนืดของสารกระายตัวเป็นถ้วนเขียวดัดแปร 5 % และคุณสมบัติของฟิล์มเป็นถ้วนเขียวดัดแปรต่อไป

## 2. ผลของสารเพิ่มความยืดหยุ่นต่อความหนืดของสารกระายตัวเป็นถ้วนเขียวดัดแปร

คุณสมบัติด้านความหนืดของสารกระายตัวเป็นถ้วนเขียวดัดแปรความเข้มข้น 5 % ที่เติมกลีเซอรอลและซอร์บิทอลโดยใช้ความเข้มข้นของแต่ละชนิด 3 ระดับ คือ 10 %, 20 % และ 30 % ของน้ำหนักเป็นแห้ง เปรียบเทียบกับสารกระายตัวเป็นถ้วนเขียวดัดแปรที่ไม่มีสารเพิ่มความยืดหยุ่น และ HPMC E15LV ที่ไม่เติมสารเพิ่มความยืดหยุ่น พบว่าการไหลของสารละลาย HPMC E15LV 5% มีลักษณะเป็นแบบ newtonian โดยความหนืดของสารละลาย HPMC E15LV วัดที่ความเร็วในการหมุน 100 รอบ/นาที เท่ากับ  $124.71 \pm 3.36$  cps ส่วนลักษณะการไหลของสารกระายตัวเป็นถ้วนเขียวดัดแปรที่ไม่เติมสารเพิ่มความยืดหยุ่น และสารกระายตัวเป็นถ้วนเขียวดัดแปรที่เติมกลีเซอรอลและซอร์บิทอลทุกระดับความเข้มข้นเป็นแบบ pseudoplastic ดังแสดงในภาพที่ 12

นอกจากนี้สารกระายตัวเป็นถ้วนเขียวดัดแปรทุกสภาวะ ที่ทดสอบด้วยความเร็วในการหมุนเท่ากันที่อุณหภูมิห้อง (26 °C) มีค่าความหนืดไม่แตกต่างกัน จึงสรุปว่าสารเพิ่มความยืดหยุ่นทั้ง 2 ชนิด คือ กลีเซอรอลและซอร์บิทอล ที่ความเข้มข้น 10 %, 20 % และ 30 % ของน้ำหนักแห้ง ไม่มีผลต่อความหนืดของสารกระายตัวเป็นถ้วนเขียวดัดแปรอย่างมีนัยสำคัญทางสถิติ ( $p>0.05$ ) ดังแสดงในตารางที่ 4



ภาพที่ 12 การ ให้ของสารกระเจาด้วยตัวแป้งถั่วเขียวคัดแปร 5 % ที่ไม่เติมสารเพิ่มความยืดหยุ่น สารกระเจาด้วยตัวแป้งถั่วเขียวคัดแปร 5 % ที่เติมกลีเซอรอลและซอร์บิทอล ที่ความเข้มข้น 10 % 20 % และ 30 % ของน้ำหนักแป้ง และสารละลายน้ำ HPMC E15LV 5% แต่ละค่าแสดงในรูปของค่าเฉลี่ย ± ส่วนเบี่ยงเบนมาตรฐานค่าละ 3 ตัวอย่าง

ตารางที่ 4 ความหนืดของสารกระเจาด้วยตัวแป้งถั่วเขียวคัดแปร (AMS) 5 % ที่ไม่เติมสารเพิ่มความยืดหยุ่น สารกระเจาด้วยตัวแป้งถั่วเขียวคัดแปร 5 % ที่เติมกลีเซอรอลและซอร์บิทอล ความเข้มข้น 10 %, 20 % และ 30 % ของน้ำหนักแป้ง และสารละลายน้ำ HPMC E15LV 5%

RPM	AMS	ความหนืดของสารกระเจาด้วยตัวแป้งถั่วเขียวคัดแปร (cps)					
		AMS + Glycerol (%)			AMS + Sorbitol (%)		
		10 %	20 %	30 %	10 %	20 %	30 %
10	753.57±18.56	753.57±18.90	752.38±14.43	759.52±16.10	765.48±4.12	758.33±2.06	745.24±10.31
20	572.62±13.64	568.45±22.68	581.55±21.30	577.38±4.12	588.10±2.73	583.93±6.44	576.19±10.31
40	437.80±8.25	447.02±9.29	442.86±11.68	441.67±2.25	448.51±1.36	440.77±3.72	438.10±8.10
60	370.83±6.21	380.95±8.40	375.99±8.67	376.19±1.03	380.95±1.19	374.40±2.15	375.60±6.19
80	331.85±4.15	339.88±6.47	334.38±7.59	336.46±1.12	340.63±1.61	335.12±0.68	336.61±6.61
100	304.17±5.08	312.62±4.88	306.43±4.83	309.29±0.94	313.21±1.79	308.33±1.25	311.19±5.54
120	283.23±4.00	290.38±3.35	285.02±5.23	288.10±0.79	291.77±1.79	286.81±0.75	292.06±4.82

แต่ละค่าแสดงในรูปของค่าเฉลี่ย ± ส่วนเบี่ยงเบนมาตรฐานค่าละ 3 ตัวอย่าง

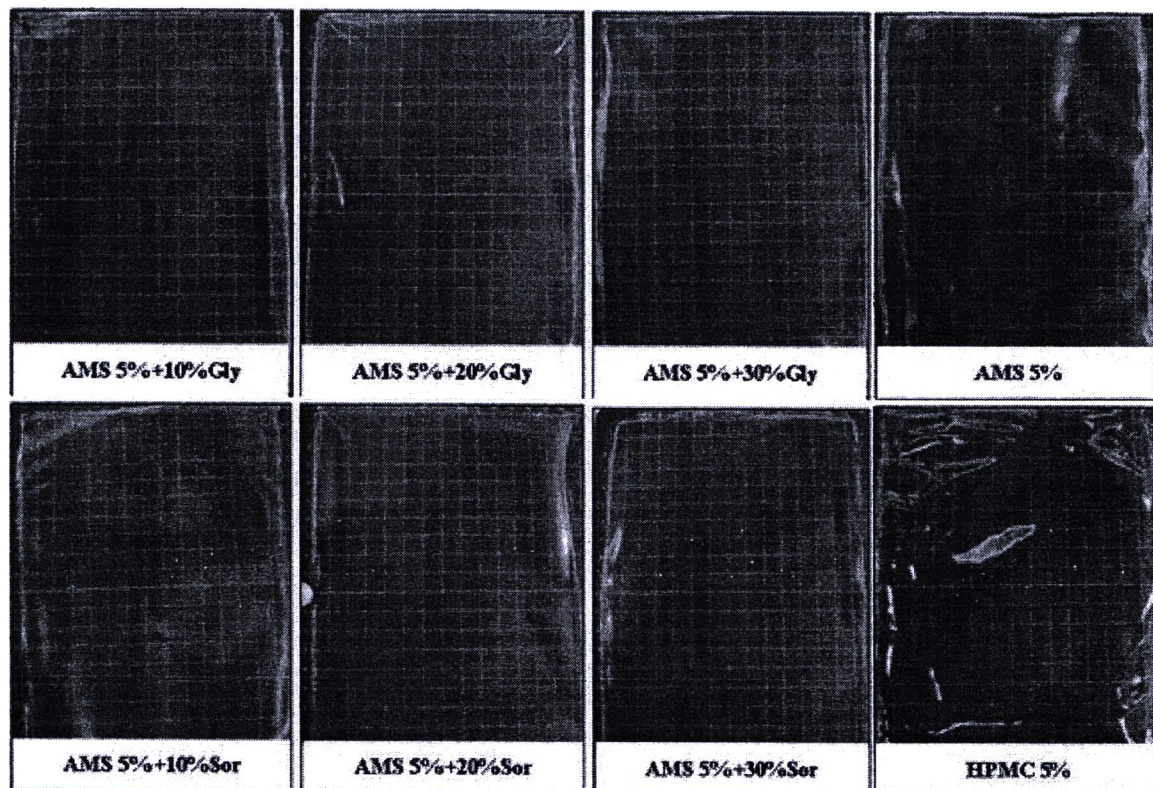


43

### 3. ผลของสารเพิ่มความยืดหยุ่นต่อคุณสมบัติของฟิล์มแป้งถั่วเขียวดัดแปร

#### 3.1 ลักษณะของฟิล์มแป้งถั่วเขียวดัดแปร

ฟิล์มแป้งถั่วเขียวดัดแปรที่เติมสารเพิ่มความยืดหยุ่นในปริมาณที่แตกต่างกัน มีลักษณะค่อนข้างใส โปร่งแสง ผิวเรียบ ผิวของฟิล์มด้านที่สัมผัสนับพลาสติกมีความเรียบและมันวาวมากกว่าผิวด้านที่สัมผัสนับอากาศ (ภาพที่ 13) เนื่องจากคุณสมบัติของแป้งถั่วเขียว ซึ่งเป็นแป้งจากข้าวพืช มีปริมาณอะมิโน酳สูง มีแรงของพันธะภายในเม็ดแป้งที่ต่างกัน 2 ชนิด คือ พันธะบริเวณผลึกและบริเวณอสัมฐานของเม็ดแป้ง มีกำลังการพองตัวและการละลายตัว ทำให้เกิดการรับกันของหน้ำไชครอกซิลของอะมิโน酳ระหว่างเย็นตัวหรือวิ trogradation) ไม่เลกูลของอะมิโน酳ซึ่งเกิดเป็นผลึกที่ไม่ละลายทำให้ฟิล์มชุ่น (กล้ามรังค์ ศรีรัต และ เกื้อภูล ปียะจอมขวัญ, 2550) สอดคล้องกับจุฬาลงกรณ์และคณะ (2552) ซึ่งศึกษาเทคนิคการทำให้แห้งต่อคุณสมบัติของฟิล์มจากแป้งถั่วเขียวพัสม ไคโตแซน และปานทิพย์ บุญสั่ง (2548) ที่พบว่าแป้งถั่วเขียวซึ่งมีอะมิโน酳สูงเมื่อเครื่องเป็นฟิล์มจะมีความชุ่น โปร่งแสง ด้านหนึ่งเรียบมันวาว ส่วนอีกด้านหนึ่งไม่มันวาว มีผิวที่สม่ำเสมอ กันทั่วทั้งแผ่น ผิวของแผ่นฟิล์มด้านที่สัมผัสนับอากาศมีลักษณะหยาบและเรียบบันอยกว่าอีกด้านหนึ่ง



ภาพที่ 13 ลักษณะของฟิล์มแป้งถั่วเขียวดัดแปร (AMS) ที่ใช้สารเพิ่มความยืดหยุ่นที่ความเข้มข้น 10 %, 20 % และ 30 % เปรียบเทียบกับฟิล์มแป้งถั่วเขียวดัดแปรที่ไม่เติมสารเพิ่มความยืดหยุ่นและฟิล์ม HPLC E15LV ที่ไม่เติมสารเพิ่มความยืดหยุ่น (AMS คือ แป้งถั่วเขียวดัดแปร, Gly คือ กลีเซอรอล และ Sor คือ ซอร์บิทอล)

ฟิล์มแป้งถั่วเขียวดัดแปรที่เติมสารเพิ่มความยืดหยุ่น คือ กลีเซอรอลและซอร์บิทอล ที่ความเข้มข้น 10 % พนว่าทำให้ฟิล์มแป้งถั่วเขียวดัดแปร เปราะ แตกหักง่ายขึ้นเมื่อเทียบกับแผ่นฟิล์มแป้งถั่วเขียวดัดแปรที่ไม่เติมสารเพิ่ม

ความยึดหยุ่น เนื่องจากสารเพิ่มความยึดหยุ่นมีปริมาณต่ำ ทำให้การแทรกตัวในโนเลกูลของแป้งมีลักษณะไม่เป็นเนื้อเดียว กับแป้ง มีความสามารถในการยึดจับทางพันธะกับโนเลกูลของแป้งคล่อง ส่งผลให้ความแข็งแรงของฟิล์มลดลง ฟิล์มเกิดการแตกง่ายขึ้น (ชิราฐ ปทุมชนทรัพย์, 2553) แต่เมื่อความเข้มข้นเพิ่มขึ้นเป็น 20 % และ 30 % ทำให้ฟิล์มแป้งถ้วนเจียดแปร์ที่เติมสารเพิ่มยึดหยุ่น 30 % มีผิวเรียบ มีความอ่อนตัวและความยึดหยุ่นเพิ่มมากขึ้น โดยฟิล์มแป้งถ้วนเจียดแปร์ที่เติมสารเพิ่มยึดหยุ่น 20 % เนื่องจากสารเพิ่มความยึดหยุ่นเข้าไปแทรกยึดจับกับโนเลกูลของแป้ง เกิดการเขื่อนต่อระหว่างโนเลกูลของสารเพิ่มความยึดหยุ่นกับสายพอลิเมอร์ของแป้งที่อยู่ใกล้เคียงกันทำให้แรงยึดเหนี่ยวระหว่างโนเลกูลของสายพอลิเมอร์ที่อยู่ใกล้กันอ่อนลง เกิดเป็นโครงสร้างของโนเลกูลที่ยึดหยุ่น (Laohakunjit and Noomhorm, 2004) แสดงถึงกับการศึกษาของปานพิพัฒ บุญส่ง (2548) ที่พบว่าสารเพิ่มความยึดหยุ่น คือ กลีเซอรอลและซอร์บิทอลมีผลทำให้ฟิล์มแป้งข้าวเจ้ามีความอ่อนตัวเพิ่มขึ้น นุ่มนิ่อมากขึ้นเมื่อเทียบกับฟิล์มแป้งข้าวเจ้าที่ไม่เติมสารเพิ่มความยึดหยุ่น แต่ถ้าใช้ความเข้มข้นต่ำทำให้ฟิล์มerasible แตกหักง่าย และแสดงถึงกับการศึกษาของ Bangyekan และคณะ (2006) ที่พบว่าการใช้สารเพิ่มความยึดหยุ่นในปริมาณที่ค่อนข้างมากทำให้ความแข็งแรงของฟิล์มที่ได้จากพอลิเมอร์ธรรมชาติลดลง

### 3.2 ความหนาของฟิล์มแป้งถ้วนเจียดแปร์

จากการศึกษาความหนาของฟิล์มพบว่าความหนาของฟิล์มแป้งถ้วนเจียดแปร์ (ไม่มีสารเพิ่มความยึดหยุ่น) เท่ากับ  $136.13 \pm 15.12$  ไมครอน และความหนาของฟิล์ม HPMC E15LV (ไม่มีสารเพิ่มความยึดหยุ่น) เท่ากับ  $125.97 \pm 17.28$  ไมครอน และความหนาของฟิล์มแป้งถ้วนเจียดแปร์ที่เติมกลีเซอรอลและซอร์บิทอล ความเข้มข้น 10 % 20 % และ 30 % แสดงในตารางที่ 5 โดยฟิล์มแป้งถ้วนเจียดแปร์ทุกสูตรและฟิล์ม HPMC E15LV มีความหนาไม่แตกต่างกันอย่างมีนัยสำคัญทางสถิติ ( $p>0.05$ ) อาจเนื่องจากสารเพิ่มความยึดหยุ่นที่ใช้มีน้ำหนักโนเลกูลต่ำจึงสามารถแทรกอยู่ระหว่างโนเลกูลของพอลิเมอร์ได้ดี นอกจากนี้ยังมีการใช้สารเพิ่มความยึดหยุ่นในปริมาณน้อย ซึ่งคล้ายคลึงกับผลการศึกษาของชิราฐ ปทุมชนทรัพย์ (2553) ที่พบว่าความหนาของฟิล์มแป้งข้าวเหนียวเจียดแปร์ด้วยค่าคงในสภาวะที่มีแอลกอฮอล์ ในสภาวะที่มีสารเพิ่มความยึดหยุ่นต่ำกว่า 3 ชนิด คือ กลีเซอรอล ซอร์บิทอล และ PEG 400 ทุกระดับความเข้มข้น คือ 10 %, 20 % และ 30 % ของน้ำหนักแป้งแห้ง ไม่แตกต่างกันอย่างมีนัยสำคัญทางสถิติ ( $p>0.05$ ) และคล้ายกับผลการศึกษาของปานพิพัฒ บุญส่ง (2548) ที่พบว่าชนิดและความเข้มข้นของสารเพิ่มความยึดหยุ่นไม่มีผลต่อความหนาของฟิล์มจากแป้งข้าวเจ้า โดยความหนาของฟิล์มขึ้นอยู่กับน้ำหนักของแป้งแห้งที่เตรียมเป็นฟิล์ม (Moller, Yamashita and Laurindo, 2008)

ตารางที่ 5 ความหนาของฟิล์มแป้งถ้วนเจียดแปร์และแผ่นฟิล์มแป้งถ้วนเจียดแปร์ที่ใช้สารเพิ่มความยึดหยุ่นในปริมาณที่แตกต่างกันเปรียบเทียบกับฟิล์ม HPMC E15LV ที่ไม่เติมสารเพิ่มความยึดหยุ่น

ชนิดของสารเพิ่มความยึดหยุ่น	ความหนา (ไมครอน)		
	ปริมาณสารเพิ่มความยึดหยุ่น (% ของน้ำหนักแป้ง)		
	10	20	30
กลีเซอรอล	$134.30 \pm 13.24$	$133.87 \pm 17.56$	$139.60 \pm 19.30$
ซอร์บิทอล	$133.30 \pm 17.80$	$139.03 \pm 15.29$	$139.73 \pm 15.46$

แต่ละค่าแสดงในรูปของค่าเฉลี่ย ± ส่วนเบี่ยงเบนมาตรฐานค่าละ 3 ตัวอย่าง

### 3.3 ความสามารถในการต้านแรงเจาะของฟิล์มแป้งถั่วเขียวดัดแปร

ผลการศึกษาความสามารถในการต้านแรงเจาะของฟิล์มแป้งถั่วเขียวดัดแปรที่ใช้กลีเซอรอลและซอร์บิทอลเป็นสารเพิ่มความยืดหยุ่นที่ความเข้มข้น 10 %, 20 % และ 30 % ของน้ำหนักแป้ง เปรียบเทียบกับฟิล์มแป้งถั่วเขียวดัดแปรที่ไม่เติมสารเพิ่มความยืดหยุ่น และฟิล์ม HPMC E15LV ที่ไม่เติมสารเพิ่มความยืดหยุ่น พบว่าความสามารถในการต้านแรงเจาะของฟิล์ม HPMC E15LV เท่ากับ  $48.33 \pm 1.44$  MPa และค่าความสามารถในการต้านแรงเจาะของฟิล์ม HPMC E15LV มีความสามารถในการต้านทานแรงเจาะไม่แตกต่างกัน ( $p>0.05$ ) นอกจากนี้ความสามารถในการต้านทานแรงเจาะยังขึ้นอยู่กับชนิดและความเข้มข้นของสารเพิ่มความยืดหยุ่นที่ใช้ โดยฟิล์มแป้งถั่วเขียวดัดแปรที่ไม่เติมสารเพิ่มความยืดหยุ่น ฟิล์มแป้งถั่วเขียวดัดแปรที่เติมกลีเซอรอลและฟิล์มแป้งถั่วเขียวดัดแปรที่เติมซอร์บิทอลมีความสามารถในการต้านทานแรงเจาะแตกต่างกันอย่างมีนัยสำคัญทางสถิติ ( $p\leq 0.05$ )

**ตารางที่ 6 ความสามารถในการต้านแรงเจาะของฟิล์มแป้งถั่วเขียวดัดแปรที่เติมกลีเซอรอลและซอร์บิทอล ที่ความเข้มข้น 10 %, 20 % และ 30 % ของน้ำหนักแป้ง เปรียบเทียบกับฟิล์มแป้งถั่วเขียวดัดแปรที่ไม่เติมสารเพิ่มความยืดหยุ่น และฟิล์ม HPMC E15LV ที่ไม่เติมสารเพิ่มความยืดหยุ่น**

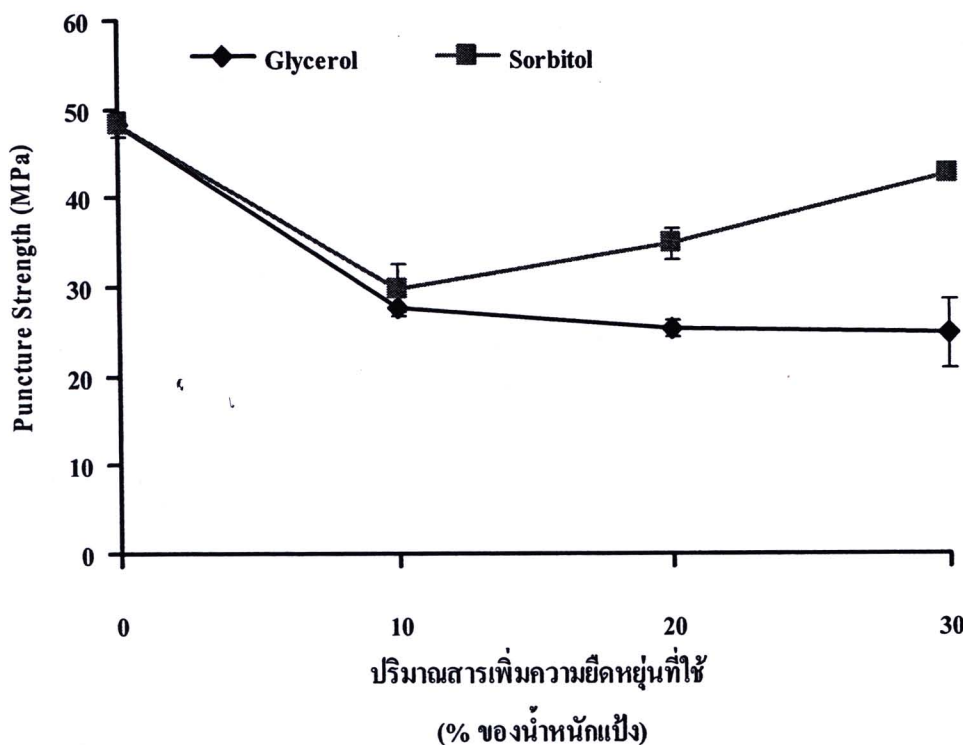
ชนิดสารเพิ่มความยืดหยุ่น	ค่าความสามารถในการต้านแรงเจาะ (MPa)		
	ปริมาณสารเพิ่มความยืดหยุ่น (% ของน้ำหนักแป้ง)		
	10 %	20 %	30 %
กลีเซอรอล	$27.71 \pm 1.04$	$25.26 \pm 0.90$	$24.77 \pm 3.94$
ซอร์บิทอล	$29.81 \pm 2.70$	$34.88 \pm 1.77$	$42.66 \pm 0.48$

แต่ละค่าแสดงในรูปของค่าเฉลี่ย ± ส่วนเบี่ยงเบนมาตรฐานค่าละ 3 ตัวอย่าง

การใช้กลีเซอรอลและซอร์บิทอลเป็นสารเพิ่มความยืดหยุ่นทำให้ความสามารถในการต้านแรงเจาะของฟิล์มแป้งถั่วเขียวดัดแปรลดลง เนื่องจากโมเลกุลของสารเพิ่มความยืดหยุ่นเข้าไปแทรกจับพันธะระหว่างสายโมเลกุลของแป้ง ลดคลื่อนองค์กรศักยภาพของ Bangyekan และคณะ (2006) ที่พบว่าการใช้สารเพิ่มความยืดหยุ่นในปริมาณที่ต่ำทำให้ความแข็งแรงของฟิล์มที่ได้จากพอลิเมอร์ธรรมชาติลดลง โดยค่าการต้านแรงเจาะของฟิล์มแป้งถั่วเขียวดัดแปรที่เติมกลีเซอรอล 10 %, 20 % และ 30 % เท่ากับ  $27.71 \pm 1.04$  MPa,  $25.26 \pm 0.90$  MPa และ  $24.77 \pm 3.94$  MPa ตามลำดับ (ตารางที่ 6) และคงถึงความสามารถในการต้านแรงเจาะมีแนวโน้มลดลงเมื่อปริมาณของกลีเซอรอลเพิ่มสูงขึ้น เนื่องจากกลีเซอรอลมีขนาดโมเลกุลเล็ก มีโครงสร้างสายสั้นและมีความชอบน้ำสามารถแทรกเข้าไปในโครงสร้างตาข่ายของพอลิเมอร์ได้ดี (Cuq et al., 1997; Mali et al., 2008; Sothornvit and Krochta, 2001) ส่งผลให้ฟิล์มน้ำมีความยืดหยุ่นมากขึ้นจึงใช้แรงในการทำให้ฟิล์มขาดน้อยลง คล้ายกับผลการศึกษาของ Yang และ Paulson (2000) ที่พบว่าการเพิ่มปริมาณกลีเซอรอลในฟิล์มเจลแลนทำให้ความสามารถในการต้านแรงเจาะลดลง

ในขณะที่ฟิล์มแป้งถั่วเขียวดัดแปรที่เติมซอร์บิทอล 10 % มีความสามารถในการต้านแรงเจาะ เท่ากับ  $29.81 \pm 2.70$  MPa ซึ่งใกล้เคียงกับกลีเซอรอล แต่เมื่อเพิ่มปริมาณซอร์บิทอลเป็น 20 % และ 30 % ความสามารถในการต้านแรงเจาะ กลับเพิ่มสูงขึ้นเป็น  $34.88 \pm 1.77$  MPa และ  $42.66 \pm 0.48$  MPa ตามลำดับ (ตารางที่ 6) เนื่องจากขนาดโมเลกุล โครงสร้าง จำนวนหน่วยไครอกรอกซิล และการเข้ากันได้กับพอลิเมอร์มีผลต่อแรงยืดเหย็นระหว่างสารเพิ่มความ

ยีดหยุ่นและพอลิเมอร์ (Yang and Paulson, 2000) ซึ่งชอร์บิทอลเป็นของแข็งมีหยุ่นไชครอชิลมากกว่าและมีแรงขึ้นเหนี่ยวที่นานกว่าโมเลกุลมากกว่ากลีเซอรอล (Mali et al., 2008) จึงนำจะมีความหนาแน่นกับชนิดของแป้งถั่วเขียวดังนี้ แต่ละส่วนเพิ่มความยืดหยุ่นที่ใช้แล้วจะลดลง



ภาพที่ 14 ความสามารถในการต้านแรงเจาะของแป้งฟิล์มแป้งถั่วเขียวดัดแปรที่ใช้กลีเซอรอลและชอร์บิทอลเป็นสารเพิ่มความยืดหยุ่นในปริมาณที่แตกต่างกัน แต่ละค่าแสดงในรูปของค่าเฉลี่ย ± ส่วนเบี่ยงเบนมาตรฐานค่าละ 3 ตัวอย่าง

เมื่อเปรียบเทียบระหว่างฟิล์มแป้งถั่วเขียวดัดแปรที่เติมกลีเซอรอลและชอร์บิทอล (ภาพที่ 14) พบว่าฟิล์มแป้งถั่วเขียวดัดแปรที่เติมชอร์บิทอลมีความสามารถในการต้านแรงเจาะมากกว่าแป้งฟิล์มแป้งถั่วเขียวดัดแปรที่เติมกลีเซอรอลที่ความเข้มข้นเดียวกัน เนื่องจากกลีเซอรอลมีขนาดโมเลกุลเล็กกว่า มีโครงสร้างสายสัมภาระแทรกเข้าไปในโครงสร้างต่างๆของพอลิเมอร์ได้มากกว่าและมีความชอบน้ำมากกว่า สามารถดูดความชื้นได้มากกว่าทำให้มีความยืดหยุ่นมากกว่าชอร์บิทอลที่ความเข้มข้นเดียวกัน (Cuq et al., 1997; Mali et al., 2008; Sothornvit and Krochta, 2001) จึงสามารถต้านแรงเจาะได้น้อยกว่า โดยฟิล์มแป้งถั่วเขียวดัดแปรที่เติมชอร์บิทอล 30 % มีความสามารถต้านทานแรงเจาะสูงที่สุด แต่น้อยกว่าฟิล์มแป้งถั่วเขียวดัดแปรที่ไม่เติมสารเพิ่มความยืดหยุ่นและฟิล์ม HPMC E15LV สองคล้องกัน การศึกษาของชิราฐ ปทุมชนทรัพย์ (2553) ที่พบว่าฟิล์มแป้งข้าวเหนียวดัดแปรด้วยด่างในแอลกอฮอล์ที่เติมชอร์บิทอล มีความสามารถในการต้านทานแรงเจาะมากกว่าฟิล์มที่เติมกลีเซอรอล

### 3.4 ความสามารถในการยึดของฟิล์มแป้งถั่วเขียวดัดแปร

ผลการศึกษาความสามารถในการยึดของฟิล์มแป้งถั่วเขียวดัดแปรที่ใช้กลีเซอรอลและชอร์บิทอล เป็นสารเพิ่มความยืดหยุ่นในปริมาณที่แตกต่างกัน คือ 10 %, 20 % และ 30 % ของน้ำหนักแป้ง เปรียบเทียบกับฟิล์มแป้งถั่วเขียว

ตัวแปรที่ไม่เดินสารเพิ่มความยืดหยุ่น และพีล์ม HPMC E15LV ที่ไม่เดินสารเพิ่มความยืดหยุ่น พบว่าความสามารถในการยึดตัวของพีล์มเป็นถ้วนที่เดียวกับ  $17.88 \pm 0.18\%$  และความสามารถในการยึดตัวของพีล์ม HPMC E15LV เท่ากับ  $12.84 \pm 1.15\%$

และความสามารถในการยึดของพีล์มเป็นถ้วนที่เดียวกับตัวแปรที่เดินกลีเซอรอลและซอร์บิทอลมีความแตกต่างกันอย่างมีนัยสำคัญทางสถิติ ( $p \leq 0.05$ ) โดยพีล์มเป็นถ้วนที่เดียวกับตัวแปรและพีล์ม HPMC E15LV มีค่าความสามารถในการยึด เท่ากับ  $17.88 \pm 0.18\%$  และ  $12.84 \pm 1.15\%$  ตามลำดับ โดยมีเดินกลีเซอรอลและซอร์บิทอล  $10\%$  ของน้ำหนัก เป็นพื้นที่พีล์มเป็นถ้วนที่เดียวกับตัวแปรมีความสามารถในการยึดของลดลงเมื่อเทียบกับพีล์มเป็นถ้วนที่เดินสารเพิ่มความยืดหยุ่น (ตารางที่ 7) เนื่องจากการเดินสารเพิ่มความยืดหยุ่นในปริมาณที่ต่ำมีการแทรกตัวของสารเพิ่มความยืดหยุ่นไม่เป็นเนื้อเดียวกับเป็นทำให้ความสามารถในการยึดจับทางพันธะกับโมเลกุลของแป้งลดลง และความสามารถในการยึดของพีล์มจึงน้อยลง (ชิราฐ ปทุมชนทรัพย์, 2553) ซึ่งสอดคล้องกับผลการศึกษาของ Mali และคณะ (2008) ที่พบว่าการใช้กลีเซอรอลและซอร์บิทอลในปริมาณที่ต่ำ ( $\leq 15\text{ g}/100\text{ g starch}$ ) ไม่ทำให้ความสามารถในการยึดของพีล์มเป็นถ้วนสำปะหลังเพิ่มขึ้น

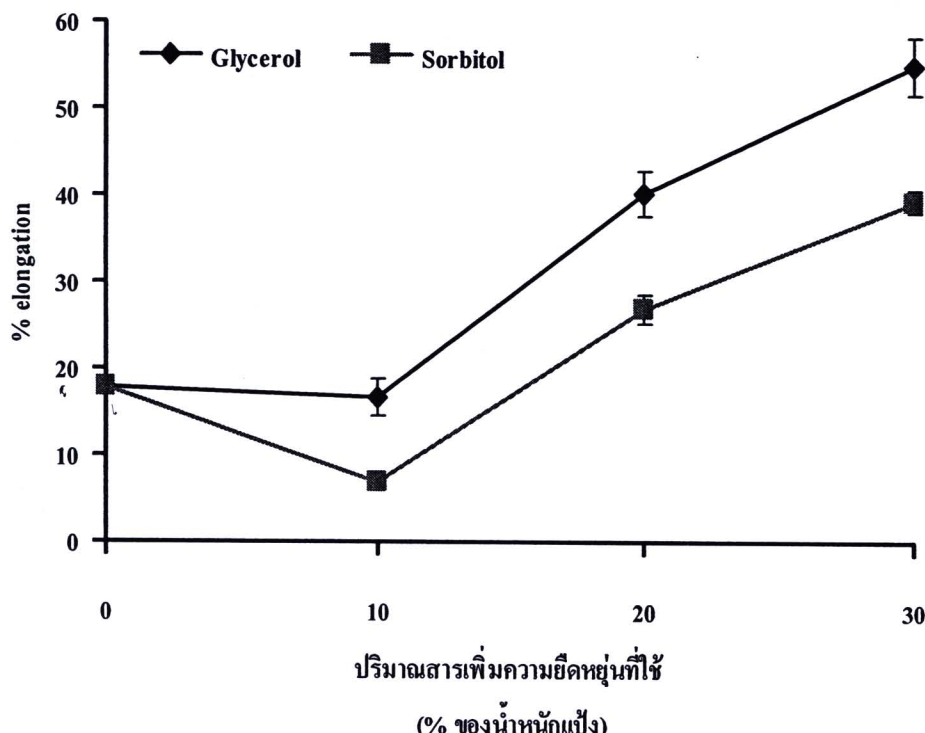
**ตารางที่ 7 ความสามารถในการยึดของพีล์มเป็นถ้วนที่เดียวกับตัวแปรที่เดินกลีเซอรอลและซอร์บิทอล ที่ความเข้มข้น  $10\%$ ,  $20\%$  และ  $30\%$  ของน้ำหนักเป็นเบริบยกับพีล์มเป็นถ้วนที่เดินสารเพิ่มความยืดหยุ่นและพีล์ม HPMC E15LV ที่ไม่เดินสารเพิ่มความยืดหยุ่น**

ชนิดของสารเพิ่มความยืดหยุ่น	ค่าความสามารถในการยึด (%)		
	ปริมาณสารเพิ่มความยืดหยุ่น (% ของน้ำหนักเป็น)		
	10	20	30
กลีเซอรอล	$16.73 \pm 2.18$	$40.18 \pm 2.61$	$55.02 \pm 3.29$
ซอร์บิทอล	$6.82 \pm 0.30$	$26.90 \pm 1.55$	$39.34 \pm 1.31$

แต่ละค่าแสดงในรูปของค่าเฉลี่ย  $\pm$  ส่วนเบี่ยงเบนมาตรฐานค่าละ 3 ตัวอย่าง

การใช้กลีเซอรอลและซอร์บิทอลเป็นสารเพิ่มความยืดหยุ่นในปริมาณ  $20\%$  และ  $30\%$  ของน้ำหนักเป็นทำให้ความสามารถในการยึดของพีล์มเป็นถ้วนที่เดียวกับตัวแปรเพิ่มขึ้น สถาคล้องกับผลการศึกษาของ Bourtoom (2008) ที่พบว่าการเพิ่มปริมาณของสารเพิ่มความยืดหยุ่นที่ระดับความเข้มข้น  $20\% - 60\%$  ของน้ำหนักเป็นทำให้พีล์มเป็นข้าวเจ้า - ไกโตกาน มีความสามารถในการยึดเพิ่มขึ้น ทั้งนี้เนื่องจากสารเพิ่มความยืดหยุ่นทั้งสองชนิดมีขนาดโมเลกุลเล็กจึงแทรกเข้าไปในโมเลกุลของแป้งถ้วนที่เดียวกับตัวแปรได้ดีทำให้พีล์มมีความสามารถในการยึดเพิ่มขึ้น โดยพีล์มเป็นถ้วนที่เดินสารเพิ่มความยืดหยุ่นและซอร์บิทอลในปริมาณ  $20\%$  และ  $30\%$  มีค่าความสามารถในการยึด  $40.18 \pm 2.61\%$  และ  $55.02 \pm 3.29\%$  ตามลำดับ ในขณะที่พีล์มเป็นถ้วนที่เดินสารเพิ่มความยืดหยุ่นและซอร์บิทอลในปริมาณ  $20\%$  และ  $30\%$  มีค่าความสามารถในการยึด  $26.90 \pm 1.55\%$  และ  $39.34 \pm 1.31\%$  ตามลำดับ (ตารางที่ 7) เนื่องจากกลีเซอรอลมีขนาดโมเลกุลเล็กกว่า มีโครงสร้างสายสั้นกว่า จึงแทรกเข้าไปในโครงสร้างตาข่ายของพอลิเมอร์ได้มากกว่า มีความชอบน้ำมากกว่าและดูดความชื้นได้มากกว่า ทำให้มีความยืดหยุ่นมากกว่าซอร์บิทอล (Cuq et al., 1997; Mali et al., 2008; Sothornvit and Krochta, 2001) สอดคล้องกับผลการศึกษาของ Sothornvit และ Krochta (2001) ที่พบว่าความสามารถในการยึดของพีล์มลดลง

สัมพันธ์กับน้ำหนักโน้มเลกุลของสารเพิ่มความยืดหยุ่นที่เพิ่มขึ้น โดยพีลั่น  $\beta$ -lactoglobulin ที่เติมกลีเซอรอลซึ่งมีขนาดโน้มเลกุลเล็กกว่ามีความสามารถในการยึดของฟิล์มสูงกว่าร์บิโอล



ภาพที่ 15 ความสามารถในการยึดของแผ่นฟิล์มแป้งถ่วงเจียวตัดแปรที่ใช้กลีเซอรอลและร์บิโอลเป็นสารเพิ่มความยืดหยุ่นในปริมาณที่แตกต่างกัน แต่ละค่าแสดงในรูปของค่าเฉลี่ย ± ส่วนเบี่ยงเบนมาตรฐานค่าละ 3 ตัวอย่าง

นอกจากนี้ความสามารถในการยึดของฟิล์มแป้งถ่วงเจียวตัดแปรที่ใช้กลีเซอรอลมีค่าสูงกว่าฟิล์มแป้งถ่วงเจียวตัดแปรที่ใช้ร์บิโอลที่ความเข้มข้นเท่ากัน (ภาพที่ 15) สอดคล้องกับผลการศึกษาของ Sothornvit และ Krochta (2001); Bourtoom (2008b) และ Mali และคณะ (2008) ที่พบว่าความสามารถในการยึดของฟิล์มที่ใช้กลีเซอรอลมีค่าสูงกว่าฟิล์มที่ใช้ร์บิโอลที่ปริมาณความเข้มข้นเท่ากันและสัมพันธ์กับความสามารถในการด้านทานแรงเจาะของฟิล์มแป้งถ่วงเจียวตัดแปรที่ใช้กลีเซอรอลในปริมาณ 20 % และ 30 % มีความสามารถในการด้านทานแรงเจาะน้อยกว่าแผ่นฟิล์มแป้งถ่วงเจียวตัดแปรที่ใช้ร์บิโอลในปริมาณ 20 % และ 30 % ตามลำดับ

### 3.5 การซึมผ่านไอน้ำของฟิล์มแป้งถ่วงเจียวตัดแปร

ผลการศึกษาคุณสมบัติการซึมผ่านไอน้ำของฟิล์มแป้งถ่วงเจียวตัดแปรที่เติมกลีเซอรอลและร์บิโอล ที่ความเข้มข้น 10 %, 20 % และ 30 % ของน้ำหนักแป้ง เปรียบเทียบกับฟิล์มแป้งถ่วงเจียวตัดแปรที่ไม่เติมสารเพิ่มความยืดหยุ่น และ HPMC E15LV ที่ไม่เติมสารเพิ่มความยืดหยุ่น (ตารางที่ 8) พบว่าคุณสมบัติการซึมผ่านไอน้ำของฟิล์มแป้งถ่วงเจียวตัดแปรที่เติมกลีเซอรอลและร์บิโอลมีความแตกต่างกันอย่างมีนัยสำคัญทางสถิติ ( $p \leq 0.05$ ) โดยค่าการซึมผ่านไอน้ำของฟิล์มแป้งถ่วงเจียวตัดแปร เท่ากับ  $0.151 \pm 0.004 \text{ g.mm/m}^2.\text{day.kPa}$  และค่าการซึมผ่านไอน้ำของฟิล์ม HPMC E15LV เท่ากับ  $0.184 \pm 0.005 \text{ g.mm/m}^2.\text{day.kPa}$

การซึมผ่านไอน้ำของพิล์มแป้งถั่วเขียวคัดแปรที่เติมกสีเชอรอลมีค่าเพิ่มขึ้นเมื่อปริมาณของกสีเชอรอลเพิ่มขึ้น ซึ่งพิล์มแป้งถั่วเขียวคัดแปรที่เติมกสีเชอรอล 10 %, 20 % และ 30 % มีค่าการซึมผ่านไอน้ำเท่ากับ  $0.187 \pm 0.005$ ,  $0.267 \pm 0.011$  และ  $0.349 \pm 0.027 \text{ g.mm/m}^2.\text{day.kPa}$  ตามลำดับ เมื่อเทียบกับพิล์มแป้งถั่วเขียวคัดแปรที่ไม่เติมสารเพิ่มความยืดหยุ่น คือ  $0.151 \pm 0.004 \text{ g.mm/m}^2.\text{day.kPa}$  เนื่องจากเมื่อตอกสีเชอรอลมีปริมาณความเข้มข้นสูงขึ้นจะรวมกลุ่มและแทรกเข้าไปในโครงสร้างพอลิเมอร์ของพิล์มทำให้ความหนาแน่นของพิล์มลดลง เนื่องจากเกิดช่องว่างระหว่างโครงร่างตาข่ายของสายพอลิเมอร์ทำให้เพิ่มความสามารถในการดูดซับโมเลกุลของน้ำ การซึมผ่านไอน้ำของพิล์มจึงเพิ่มขึ้น (Bourtoom, 2008b อ้างจาก Gennadios et al., 1993 และ Lieberman and Gilbert, 1973; Yang and Paulson, 2000) สอดคล้องกับการศึกษาของ Mali และคณะ (2004), Bangyekan และคณะ (2006) และ Lopez และคณะ (2008) ที่พบว่าปริมาณของกสีเชอรอลที่ใช้เป็นสารเพิ่มความยืดหยุ่นในพิล์มแป้งมันมือเสือ พิล์มแป้งมันสำปะหลังที่เคลือบด้วยไอโคโซน และแป้งข้าวโพดที่ผ่านการดัดแปรด้วยวิธีทางเคมี ทำให้คุณสมบัติการซึมผ่านไอน้ำของพิล์มเพิ่มขึ้น

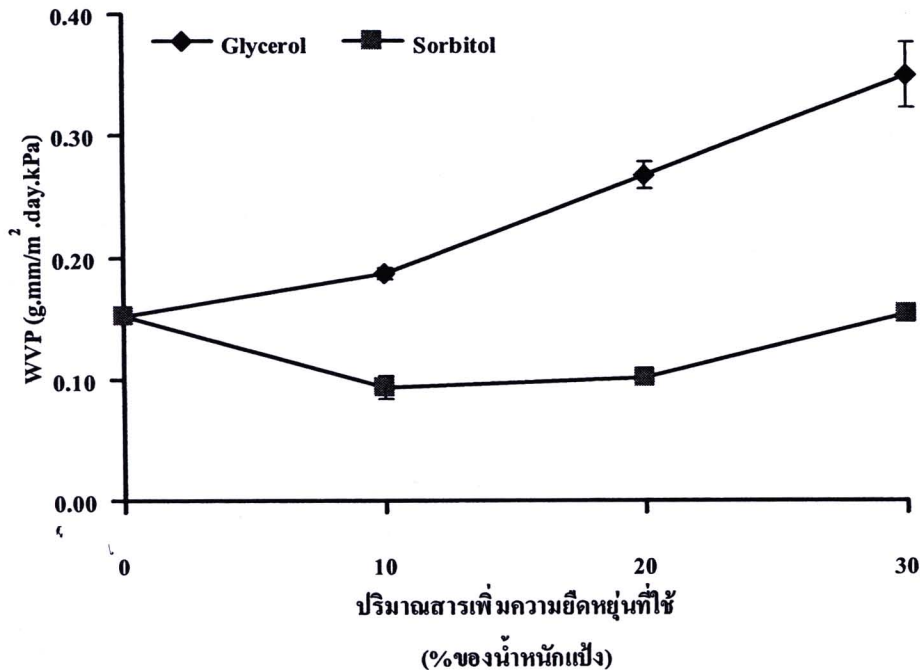
**ตารางที่ 8 การซึมผ่านไอน้ำของพิล์มแป้งถั่วเขียวคัดแปรที่เติมกสีเชอรอลและชอร์บิทอล 10 %, 20 % และ 30 % ของน้ำหนักแป้ง เปรียบเทียบกับพิล์มแป้งถั่วเขียวคัดแปรที่ไม่เติมสารเพิ่มความยืดหยุ่น และ HPMC E15LV ที่ไม่เติมสารเพิ่มความยืดหยุ่น**

ชนิดของสารเพิ่มความยืดหยุ่น	ค่าการซึมผ่านไอน้ำ ( $\text{g.mm/m}^2.\text{day.kPa}$ )		
	ปริมาณสารเพิ่มความยืดหยุ่น (% ของน้ำหนักแป้ง)		
	10 %	20 %	30 %
กสีเชอรอล	$0.187 \pm 0.005$	$0.267 \pm 0.011$	$0.349 \pm 0.027$
ชอร์บิทอล	$0.093 \pm 0.010$	$0.101 \pm 0.005$	$0.153 \pm 0.005$

แต่ละค่าแสดงในรูปของค่าเฉลี่ย ± ส่วนเบี่ยงเบนมาตรฐานค่าละ 3 ตัวอย่าง

ส่วนการซึมผ่านไอน้ำของพิล์มแป้งถั่วเขียวคัดแปรที่เติมชอร์บิทอลปริมาณ 10 %, 20 %, และ 30 % มีค่าเท่ากับ  $0.093 \pm 0.010$ ,  $0.101 \pm 0.005$  และ  $0.153 \pm 0.005 \text{ g.mm/m}^2.\text{day.kPa}$  ตามลำดับ ซึ่งน้อยกว่าพิล์มแป้งถั่วเขียวคัดแปรที่ไม่เติมสารเพิ่มความยืดหยุ่นและพิล์มแป้งถั่วเขียวคัดแปรที่เติมกสีเชอรอล อาจเกิดจากการที่ชอร์บิทอลมีหมู่ไฮดรอกซิลมากแรมีการดูดซับน้ำน้อยกว่ากสีเชอรอล (Mali et al., 2008 อ้างจาก Leung, 1986) นอกจากรินน์ยังมีขนาดโมเลกุลใหญ่และมีแรงดึงดันเนื้ยระหว่างสารเพิ่มความยืดหยุ่นและพอลิเมอร์มากกว่า (Mali et al., 2008; Yang and Paulson, 2000) จึงเกิดช่องว่างระหว่างโครงร่างตาข่ายของสายพอลิเมอร์น้อยทำให้มีการดูดซับโมเลกุลของน้ำและการซึมผ่านไอน้ำของพิล์มต่ำ แต่อย่างไรก็ตามความเข้มข้นของชอร์บิทอลที่มากขึ้นก็ทำให้ค่าการซึมผ่านไอน้ำเพิ่มสูงขึ้น ซึ่งคล้ายคลึงกับผลการศึกษาของ Bourtoom (2008b) ที่พบว่าพิล์มข้าวเจ้า - ไอโคโซนมีค่าการซึมผ่านไอน้ำเพิ่มสูงขึ้นจาก  $5.45 \text{ g.mm/m}^2.\text{day.kPa}$  ถึง  $8.68 \text{ g.mm/m}^2.\text{day.kPa}$  เมื่อปริมาณของชอร์บิทอลเพิ่มขึ้นจาก 20 % - 60 %

เมื่อเปรียบเทียบระหว่างพิล์มแป้งถั่วเขียวคัดแปรที่เติมกสีเชอรอลและที่เติมชอร์บิทอล พบว่ากสีเชอรอลทำให้พิล์มแป้งถั่วเขียวคัดแปรมีค่าการซึมผ่านไอน้ำของพิล์มสูงกว่าชอร์บิทอลทุกรอบด้วยความเข้มข้น (ภาพที่ 16) คล้ายคลึงกับการศึกษาของ Bourtoom (2008b) ที่พบว่าพิล์มแป้งข้าวเจ้า - ไอโคโซนที่เติมกสีเชอรอลมีค่าการซึมผ่านไอน้ำสูงกว่าพิล์มที่เติมชอร์บิทอล เนื่องจากกสีเชอรอลมีความชอบน้ำมากกว่าจึงมีการดูดซับโมเลกุลของน้ำได้ดีกว่า ซึ่งทำให้มีการซึมผ่านไอน้ำของพิล์มเพิ่มขึ้นสูงกว่า (Bourtoom, 2008b อ้างจาก Gennadios et al., 1993)

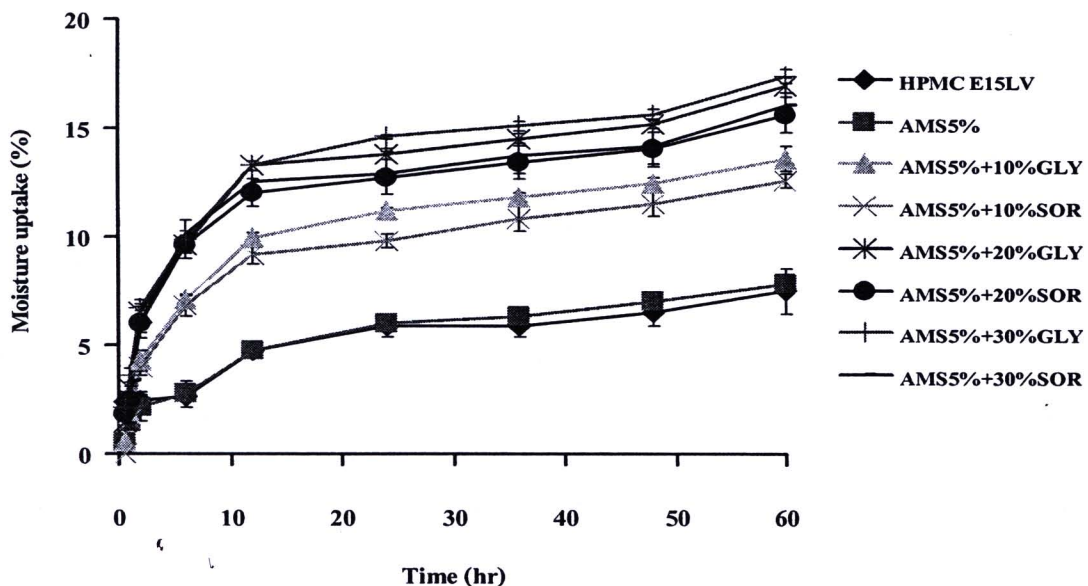


ภาพที่ 16 การซึมผ่านของไอน้ำของฟิล์มเป็นถ่วงเจียวดัดแปรที่ไม่เติมสารเพิ่มความยืดหยุ่นและฟิล์มเป็นถ่วงเจียวดัดแปรที่ใช้กลีเซอรอลและซอร์บิทอลเป็นสารเพิ่มความยืดหยุ่นในปริมาณที่แตกต่างกัน แต่ละค่าแสดงในรูปของค่าเฉลี่ย ± ส่วนเบี่ยงเบนมาตรฐานค่าละ 3 ตัวอย่าง

### 3.6 การคุณชั้นของฟิล์มเป็นถ่วงเจียวดัดแปร

ผลการศึกษาพบว่าฟิล์มเป็นถ่วงเจียวดัดแปรที่ไม่เติมสารเพิ่มความยืดหยุ่น ฟิล์มเป็นถ่วงเจียวดัดแปรที่เติมกลีเซอรอลและที่เติมซอร์บิทอลเป็นสารเพิ่มความยืดหยุ่นในปริมาณที่แตกต่างกัน และฟิล์ม HPMC E15LV มีการคุณชั้นแตกต่างกันอย่างมีนัยสำคัญทางสถิติ ( $p \leq 0.05$ ) และฟิล์มเป็นถ่วงเจียวดัดแปรที่ไม่เติมสารเพิ่มความยืดหยุ่นและฟิล์ม HPMC E15LV มีค่าการคุณชั้นใกล้เคียงกัน ซึ่งการเติมกลีเซอรอลและซอร์บิทอลทำให้การคุณชั้นของฟิล์มเป็นถ่วงเจียวดัดแปรเพิ่มสูงขึ้น โดยฟิล์มเป็นถ่วงเจียวดัดแปรที่เติมกลีเซอรอลมีค่าการคุณชั้นมากกว่าฟิล์มเป็นถ่วงเจียวดัดแปรที่เติมซอร์บิทอลที่ความชื้นขั้นเดียวกัน ซึ่งผลการศึกษาการคุณชั้นของฟิล์มเป็นถ่วงเจียวดัดแปร ฟิล์มเป็นถ่วงเจียวดัดแปรที่เติมกลีเซอรอลและซอร์บิทอลเป็นสารเพิ่มความยืดหยุ่นในปริมาณที่แตกต่างกัน และฟิล์ม HPMC E15LV แสดงในภาพที่ 17

เนื่องจากการคุณชั้นของฟิล์มจากเป็นมีความสัมพันธ์กับขนาดโมเลกุลของสารเพิ่มความยืดหยุ่นที่ใช้ โดยกลีเซอรอลมีน้ำหนักโมเลกุลต่ำกว่าซอร์บิทอล มีการคุณชั้นมากกว่าซอร์บิทอล (Mali et al., 2008; Mathew and Dufresne, 2002; Sothornvit and Krochta, 2001) กลีเซอรอลมีคุณสมบัติในการคุณชั้นมากกว่าซอร์บิทอล และพบว่าความเข้มข้นของสารเพิ่มความยืดหยุ่นที่สูงขึ้นทำให้การคุณชั้นของฟิล์มเพิ่มมากขึ้นทั้งฟิล์มเป็นถ่วงเจียวดัดแปรที่ใช้กลีเซอรอลและซอร์บิทอล ซึ่งสอดคล้องกับผลการศึกษาของ Mali และคณะ (2008) ที่พบว่าการคุณชั้นของฟิล์มเป็นมันสำปะหลังเพิ่มขึ้นเมื่อความเข้มข้นของกลีเซอรอลและซอร์บิทอลเพิ่มขึ้น และฟิล์มเป็นมันสำปะหลังที่เติมกลีเซอรอลมีการคุณชั้นมากกว่าฟิล์มเป็นมันสำปะหลังที่เติมซอร์บิทอล

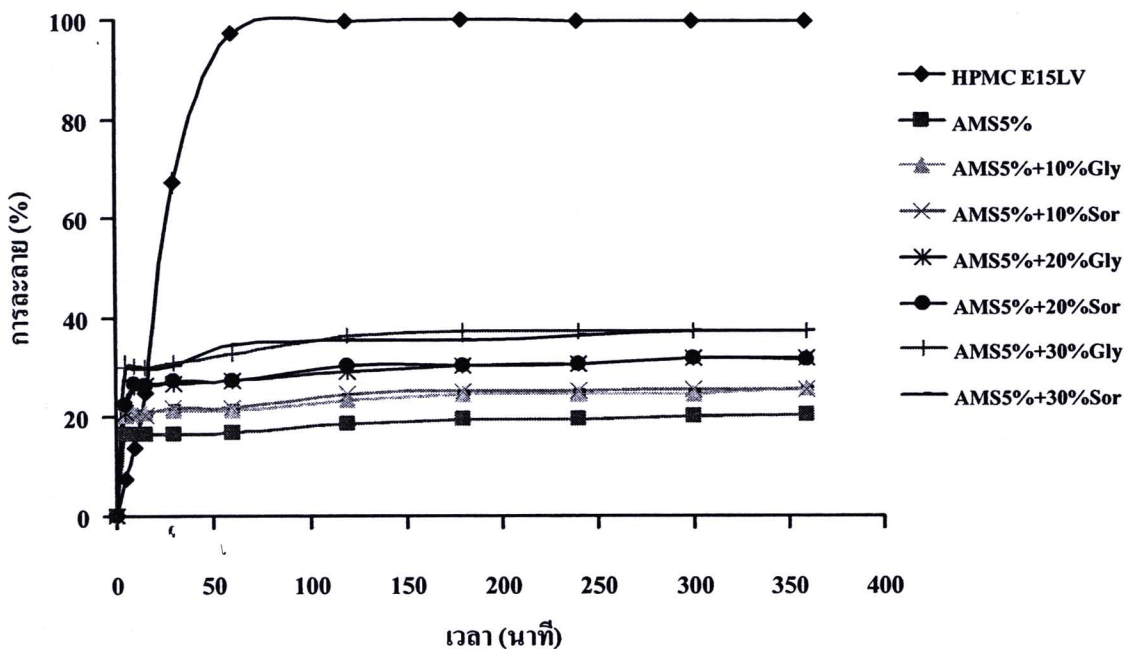


ภาพที่ 17 การคุณภาพชี้นของฟิล์มแป้งถั่วเขียวดัดแปรที่ไม่เติมสารเพิ่มความยืดหยุ่น ฟิล์มแป้งถั่วเขียวดัดแปรที่เติมกลีเซอรอลและซอร์บิทอลเป็นสารเพิ่มความยืดหยุ่นในปริมาณที่แตกต่างกัน และฟิล์ม HPMC E15L แต่ละค่าแสดงในรูปของค่าเฉลี่ย ± ส่วนเบี่ยงเบนมาตรฐานค่าละ 3 ตัวอย่าง

### 3.7 การละลายของฟิล์มแป้งถั่วเขียวดัดแปร

ผลการศึกษาการละลายในน้ำกลั่นของฟิล์มแป้งถั่วเขียวดัดแปรที่ไม่เติมสารเพิ่มความยืดหยุ่น ฟิล์มแป้งถั่วเขียวดัดแปรที่เติมกลีเซอรอลและที่เติมซอร์บิทอลเป็นสารเพิ่มความยืดหยุ่นในปริมาณที่แตกต่างกัน และฟิล์ม HPMC E15LV พบว่ามีความแตกต่างกันอย่างมีนัยสำคัญทางสถิติ ( $p \leq 0.05$ )

และพบว่าฟิล์ม HPMC E15LV มีการละลายสูง สามารถละลายหมดเมื่อเวลาผ่านไป 120 นาที ในขณะที่ ฟิล์มแป้งถั่วเขียวดัดแปรฯ มีการละลายค่อนข้างต่ำ การเติมกลีเซอรอลและซอร์บิทอล ซึ่งเป็นสารที่ละลายน้ำมีคุณสมบัติคุดความชื้น (Mathew and Duffresne, 2002) จึงทำให้ฟิล์มแป้งถั่วเขียวดัดแปรมีความสามารถละลายในน้ำได้ดีขึ้น เมื่อเปรียบเทียบกับฟิล์มแป้งถั่วเขียวดัดแปรที่ไม่เติมสารเพิ่มความยืดหยุ่น โดยฟิล์มแป้งถั่วเขียวดัดแปรที่ไม่เติม และเติมสารเพิ่มความยืดหยุ่นมีการละลายที่สูงใน 5 นาทีแรก หลังจากนั้นมีการละลายน้อยลงมาก นอกจากนี้ยังพบว่า ฟิล์มแป้งถั่วเขียวดัดแปรที่เติมกลีเซอรอลและซอร์บิทอลมีการละลายที่เวลาเดียวกัน ไม่แตกต่างกันอย่างมีนัยสำคัญทางสถิติ ( $p > 0.05$ ) ทุกรอบด้วยความเช่นขั้น (ภาพที่ 18) ซึ่งการใช้สารเพิ่มความยืดหยุ่นที่มีความชอบน้ำในความเชื้อมชูงชีน ช่วยเพิ่มคุณสมบัติการละลายให้มากขึ้น ทำให้การละลายในน้ำของฟิล์มเพิ่มสูงขึ้น (Bourtoom, 2008b) สองคล้องกับ ผลการศึกษาของ Müller และคณะ (2008) ที่พบว่าการเพิ่มปริมาณของกลีเซอรอลและซอร์บิทอลทำให้การละลายของ ฟิล์มแป้งมันสำปะหลังเพิ่มขึ้น และการศึกษาของ Bourtoom (2008b) ที่พบว่าฟิล์มข้าวเจ้า - ไก่โตชาแนที่เติมกลีเซอรอล ซอร์บิทอล และโพลีอิทธิลีน ไกลคอน (PEG) 20 % - 60 % มีการละลายเพิ่มขึ้นเมื่อปริมาณความเชื้อมชูงชีนของสารเพิ่มความยืดหยุ่นเพิ่มขึ้น นอกจากนี้ฟิล์มแป้งข้าวเจ้า - ไก่โตชาแนที่เติมซอร์บิทอลมีการละลายมากกว่าฟิล์มที่เติม PEG และ กลีเซอรอลตามลำดับ



ภาพที่ 18 การละลายของฟิล์มแป้งถั่วเขียวดัดแปรที่ไม่เติมสารเพิ่มความยืดหยุ่น และฟิล์มแป้งถั่วเขียวดัดแปรที่เติม กลีเซอรอลและซอร์บิทอลเป็นสารเพิ่มความยืดหยุ่นในปริมาณที่แตกต่างกัน และฟิล์ม HPMC E15LV แต่ ละค่าแสดงในรูปของค่าเฉลี่ย ± ส่วนเบี่ยงเบนมาตรฐานค่าละ 3 ตัวอย่าง

### 3.8 การต้านการซึมผ่านน้ำของฟิล์มแป้งถั่วเขียวดัดแปร

ผลการศึกษาด้านการซึมผ่านน้ำของฟิล์มแป้งถั่วเขียวดัดแปรพบว่าเมื่อเวลาผ่านไป  $51.67 \pm 7.64$  นาที น้ำสามารถซึมผ่านฟิล์ม HPMC E15LV ได้ จึงไม่มีคุณสมบัติในการต้านการซึมผ่านของน้ำ แต่น้ำไม่สามารถซึมผ่านฟิล์ม แป้งถั่วเขียวดัดแปรที่ไม่เติมสารเพิ่มความยืดหยุ่น ฟิล์มแป้งถั่วเขียวดัดแปรที่เติมกลีเซอรอลและซอร์บิทอลเป็นสารเพิ่ม ความยืดหยุ่นในปริมาณที่แตกต่างกันได้ เนื่องจากฟิล์มแป้งถั่วเขียวดัดแปรจะคุดชั้นน้ำและมีการพองตัวเกิดขึ้น นอกจากนี้ฟิล์มแป้งถั่วเขียวดัดแปรมีการละลายน้ำค่อนข้างต่ำ แป้งถั่วเขียวดัดแปรจะออกน้ำอ่อนๆ ทำให้น้ำไม่สามารถซึมผ่าน ฟิล์มໄปได้ แตกต่างจากฟิล์ม HPMC E15LV ที่มีการละลายสูง ฟิล์มจึงมีการละลายออกໄปเมื่อสัมผัสถักน้ำ ทำให้น้ำ สามารถซึมผ่านได้

### 3.9 การต้านการซึมผ่านน้ำมันของฟิล์มแป้งถั่วเขียวดัดแปร

ผลการศึกษาด้านการซึมผ่านน้ำมันของฟิล์มพบว่าทั้งฟิล์มแป้งถั่วเขียวดัดแปรที่เติมสารเพิ่มความยืดหยุ่น ฟิล์มแป้งถั่วเขียวดัดแปรที่ไม่เติมสารเพิ่มความยืดหยุ่น และฟิล์ม HPMC E15LV น้ำมันไม่สามารถซึมผ่านได้ เนื่องสาร ก่อฟิล์มดังกล่าวมีความชอบน้ำ เมื่อเครย์มนเป็นฟิล์ม จึงมีความสามารถต้านการซึมผ่านของน้ำมันได้

### 3.10 การคัดเลือกฟิล์มแป้งถั่วเขียวดัดแปรเพื่อนำໄปเคลือบกระดาษ

ผลการให้กระแน่นฟิล์มแป้งถั่วเขียวดัดแปรที่เติมกลีเซอรอลและซอร์บิทอล (แสดงในตารางที่ 9) เมื่อ ทดสอบคุณสมบัติต่างๆ ของฟิล์มแป้งถั่วเขียวดัดแปรแล้วให้กระแน่นคุณสมบัติที่สำคัญและเหมาะสมเพื่อทำการ คัดเลือกฟิล์มที่เติมกลีเซอรอลและซอร์บิทอลอย่างละ 1 ความเข้มข้นในการนำໄปใช้เคลือบกระดาษ ซึ่งพบว่าฟิล์มแป้ง ถั่วเขียวดัดแปรที่เติมกลีเซอรอล 10 % มีค่ากระแน่นโดยรวมสูงที่สุด แต่ฟิล์มแป้งถั่วเขียวดัดแปรที่เติมซอร์บิทอลมี

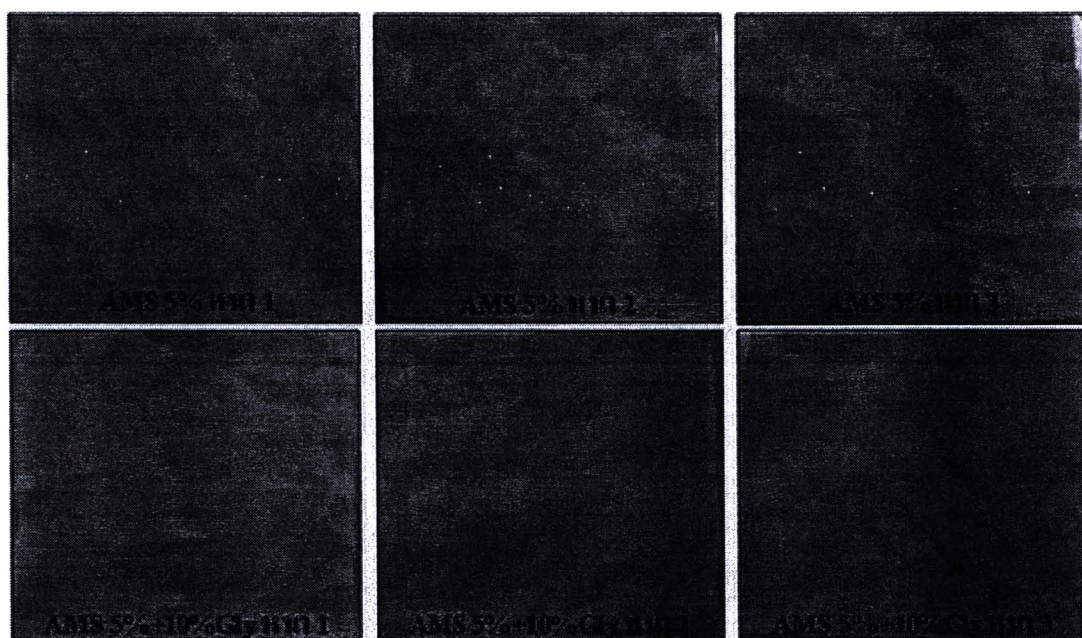
คะแนนเท่ากันทั้ง 3 ความเข้มข้น จึงพิจารณาจากคุณสมบัติที่สำคัญอันดับแรกคือการต้านแรงเจาะ พนวจฟิล์มแป้งถัว เจียวดัดแปรที่เติมชอร์บิทอล 30 % มีคะแนนสูงที่สุดนอกจากนี้ความสามารถในการยึดของฟิล์มนี้มีคะแนนสูงที่สุด ด้วย ดังนั้นจึงคัดเลือกฟิล์มแป้งถัวเจียวดัดแปรที่เติมกลีเซอรอล 10 % และที่เติมชอร์บิทอล 30 % เพื่อนำไปใช้เคลือบ กระดาษ โดยเปรียบเทียบกับกระดาษเคลือบแป้งถัวเจียวดัดแปรที่ไม่เติมสารเพิ่มความยึดหยุ่นและกระดาษเคลือบ พลาสติกที่ใช้ห่ออาหารที่มีจำนวนอย่างในห้องคลาต่อไป

**ตารางที่ 9 การให้คะแนนเพื่อคัดเลือกฟิล์มจากแป้งถัวเจียวดัดแปรที่เติมกลีเซอรอลและชอร์บิทอลย่างละ 1 ความเข้มข้น เพื่อนำไปใช้เคลือบกระดาษ (AMS คือ แป้งถัวเจียวดัดแปร, Gly คือ กลีเซอรอล และ Sor คือ ชอร์บิทอล)**

ฟิล์ม	PS	คะแนน	E (%)	คะแนน	WVP	คะแนน	ละลาย	คะแนน	รวม
AMS 5 %+10 % Gly	27.71	3	16.73	1	0.187	3	21.31	3	10
AMS 5 %+20 % Gly <sup>a</sup>	25.26	2	40.18	2	0.267	2	27.27	2	8
AMS 5 %+30 % Gly	24.77	1	55.02	3	0.349	1	32.76	1	6
AMS 5 %+10 % Sor	29.81	1	6.82	1	0.093	3	22.03	3	8
AMS 5 %+20 % Sor	34.88	2	26.90	2	0.101	2	27.36	2	8
AMS 5 %+30 % Sor	42.66	3	39.34	3	0.153	1	34.55	1	8

แต่ละค่าแสดงในรูปของค่าเฉลี่ย ± ส่วนเบี่ยงเบนมาตรฐานค่าละ 3 ตัวอย่าง

#### 4. ผลของสารเพิ่มความยึดหยุ่นต่อคุณสมบัติของกระดาษเคลือบฟิล์มแป้งถัวเจียวดัดแปร ลักษณะของกระดาษเคลือบฟิล์มจากแป้งถัวเจียวดัดแปรแสดงในภาพที่ 19 และ 20



**ภาพที่ 19 ลักษณะกระดาษเคลือบฟิล์มแป้งถัวเจียวดัดแปรที่ไม่เติมสารเพิ่มความยึดหยุ่น และกระดาษเคลือบฟิล์มแป้ง ถัวเจียวดัดแปรที่เติมกลีเซอรอล 10 % ที่ความหนาต่างกัน 3 ระดับ**



ภาพที่ 20 ลักษณะของกระดาษเคลือบฟิล์มแป้งถั่วเขียวดัดแปรที่เติมซอร์บิทอล 30 % ที่ความหนาต่างกัน 3 ระดับ

#### 4.1 ความหนาของกระดาษเคลือบฟิล์มแป้งถั่วเขียวดัดแปร

ผลการศึกษาความหนาของกระดาษพบว่าความหนากระดาษก่อนเคลือบ เท่ากับ  $53.33 \pm 3.39$  ไมครอน ความหนากระดาษเคลือบพลาสติก เท่ากับ  $64.00 \pm 3.94$  ไมครอน และความหนาของกระดาษเมื่อเคลือบด้วยฟิล์มแป้งถั่วเขียวดัดแปร แสดงในตารางที่ 10

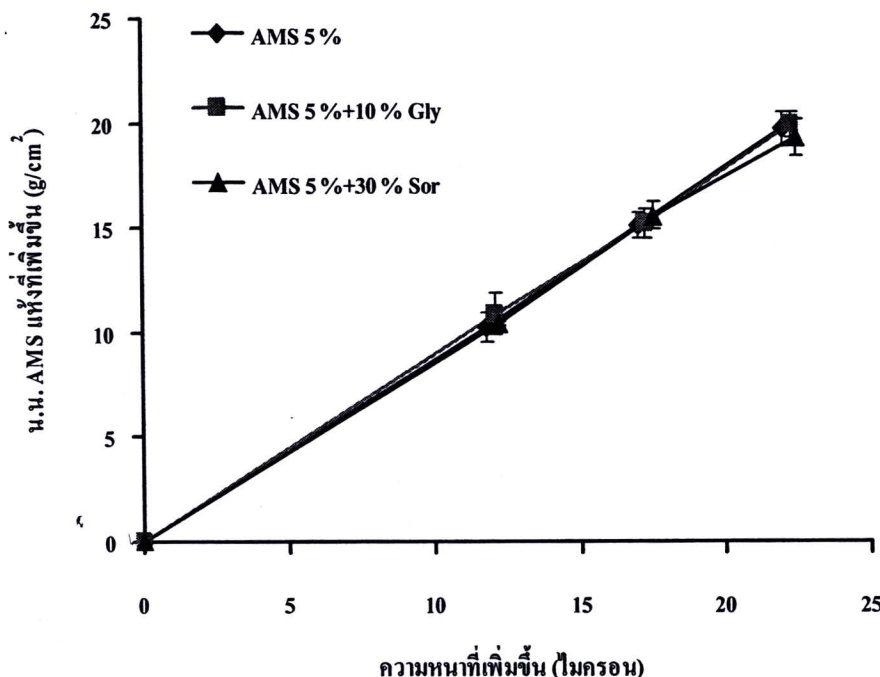
ตารางที่ 10 ความหนาของกระดาษเคลือบฟิล์มแป้งถั่วเขียวดัดแปรที่ไม่เติมสารเพิ่มความยืดหยุ่น กระดาษเคลือบฟิล์มแป้งถั่วเขียวดัดแปรที่เติมกลีเซอรอล 10 % และกระดาษเคลือบฟิล์มแป้งถั่วเขียวดัดแปรที่เติมซอร์บิทอล 30 % ที่ความหนาต่างกัน 3 ระดับ (AMS คือ แป้งถั่วเขียวดัดแปร, Gly คือ กลีเซอรอล และ Sor คือ ซอร์บิทอล)

ชนิดของกระดาษ	ความหนาของกระดาษเคลือบ (ไมครอน)		
กระดาษเคลือบฟิล์ม AMS	$65.10 \pm 4.75$	$70.37 \pm 6.42$	$75.33 \pm 6.15$
กระดาษเคลือบฟิล์ม AMS+10 % Gly	$65.43 \pm 4.35$	$70.57 \pm 5.02$	$75.63 \pm 5.55$
กระดาษเคลือบฟิล์ม AMS+30 % Sor	$65.53 \pm 5.01$	$70.90 \pm 5.09$	$75.80 \pm 6.49$

แต่ละค่าแสดงในรูปของค่าเฉลี่ย ± ส่วนเบี่ยงเบนมาตรฐานค่าละ 3 ตัวอย่าง

การเคลือบกระดาษด้วยแป้งถั่วเขียวดัดแปรทำให้กระดาษมีความหนาเพิ่มขึ้น (ภาพที่ 21) เนื่องจากสารกระจายตัวแป้งถั่วเขียวดัดแปรที่ใช้เคลือบนกระดาษเมื่อแห้งจะมีลักษณะเป็นฟิล์มเคลือบปิดช่องรูพรุนของกระดาษ ซึ่งสารกระจายตัวแป้งถั่วเขียวดัดแปรนั้นเมื่อนำไปอบจนแห้งทำให้เหลือปริมาณของแป้งถั่วเขียวดัดแปรที่เป็นของแข็งเคลือบอยู่บนกระดาษนอกจากทำให้กระดาษมีความหนาเพิ่มขึ้นแล้ว การใช้ปริมาณสารกระจายตัวในการเคลือบที่มากขึ้นปริมาณของแข็งในสารกระจายตัวก็เพิ่มมากขึ้นด้วย และเมื่อนำไปอบจนแห้งจึงทำให้เหลือปริมาณของแข็งต่อพื้นที่มากขึ้นส่งผลให้กระดาษมีความหนาเพิ่มขึ้น

คล้ายคลึงกับผลการศึกษาของ Rhim, Lee และ Hong (2006) ที่พบว่าการเคลือบกระดาษแข็งด้วย alginate และ soy protein isolate ทำให้กระดาษแข็งมีความหนาเพิ่มขึ้น และผลการศึกษาของ Gastaldi และคณะ (2007) ที่พบว่า ผลของการเคลือบกระดาษด้วย wheat gluten ทำให้ความหนาของกระดาษเพิ่มขึ้น ขึ้นอยู่กับปริมาณของแข็งที่อยู่บนผิวกระดาษ นอกจากนี้ Guillaume, Pinte, Gontard และ Gastaldi (2010) ยังศึกษาการเคลือบ wheat gluten บนกระดาษที่ผ่านการเคลือบด้วยแคลเซียมคาร์บอเนต (calcium carbonate) และแป้ง (starch) กับกระดาษที่ไม่ผ่านการเคลือบพบว่า การเคลือบด้วย wheat gluten ทำให้กระดาษทั้ง 2 ชนิดมีความหนาเพิ่มขึ้น



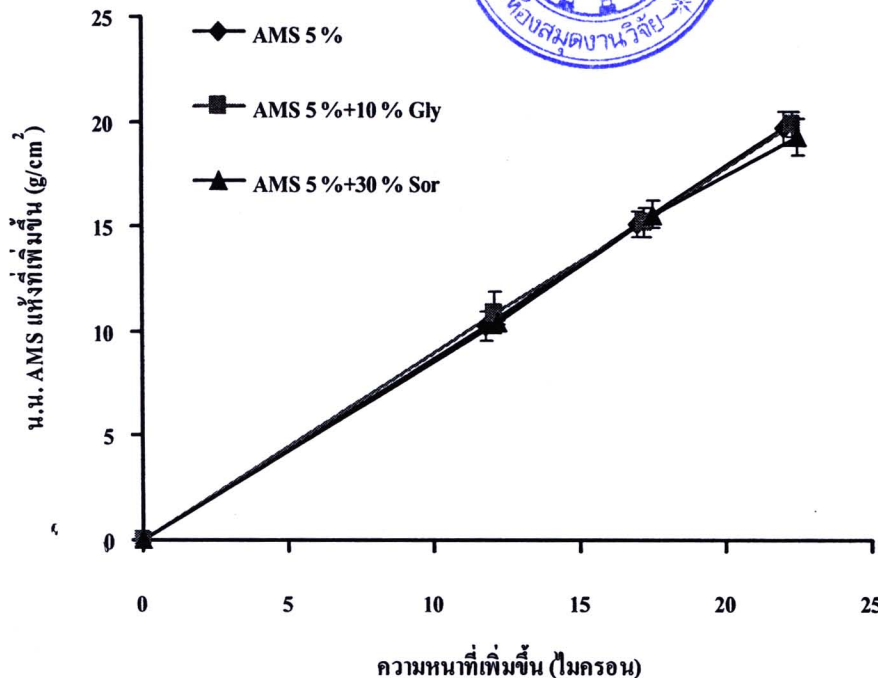
ภาพที่ 21 ความสัมพันธ์ระหว่างความหนาของกระดาษเคลือบเป็นถัวเจียวดัดแปรที่เพิ่มขึ้นเมื่อน้ำหนักของแป้งถัวเจียวดัดแปรเท่านั้นที่ใช้เคลือบกระดาษเพิ่มขึ้น (AMS คือ แป้งถัวเจียวดัดแปร, Gly คือ กลีเซอรอล และ Sor คือ ชอร์บิทอล) แต่ละค่าแสดงในรูปของค่าเฉลี่ย ± ส่วนเบี่ยงเบนมาตรฐานค่าละ 3 ตัวอย่าง

อย่างไรก็ตามนอกจากรูปแบบสารที่ใช้แล้ว ความเข้มข้นและชนิดของโพลิเมอร์ที่นำมาใช้เคลือบก็เป็นปัจจัยที่มีผลต่อความหนาของกระดาษ (Rhim et al., 2006; Gastaldi et al., 2007)

#### 4.2 ความสามารถในการด้านทานการเจาะของกระดาษเคลือบฟิล์มแป้งถัวเจียวดัดแปร

ผลการศึกษาพบว่าค่าการด้านทานแรงเจาะของกระดาษที่ไม่เคลือบ เท่ากับ  $7.16 \pm 0.14$  Mpa และค่าการด้านทานแรงเจาะของกระดาษที่เคลือบด้วยพลาสติก เท่ากับ  $7.86 \pm 0.17$  Mpa โดยค่าการด้านทานแรงเจาะของกระดาษเคลือบฟิล์มแป้งถัวเจียวดัดแปรแสดงในตารางที่ 11

กระดาษที่ไม่เคลือบมีความสามารถในการด้านทานการเจาะแตกต่างจากกระดาษเคลือบด้วยฟิล์มพลาสติกและกระดาษเคลือบฟิล์มแป้งถัวเจียวดัดแปรที่เดิมและไม่เดิมสารเพิ่มความยืดหยุ่นอย่างมีนัยสำคัญทางสถิติ ( $p \leq 0.05$ ) กล่าวคือกระดาษเคลือบด้วยพลาสติกมีความสามารถในการด้านทานการเจาะมากกว่ากระดาษที่ไม่เคลือบ แต่กระดาษเคลือบด้วยฟิล์มพลาสติกมีความสามารถในการด้านทานการเจาะใกล้เคียงกับกระดาษเคลือบฟิล์มแป้งถัวเจียวดัดแปรที่เดิมกลีเซอรอล 10 % ความหนา 65 ไมครอน สำหรับกระดาษเคลือบฟิล์มแป้งถัวเจียวดัดแปรที่เดิมและไม่เดิมสารเพิ่มความยืดหยุ่นที่ความหนาจะดับเดียวกันพบว่ากระดาษเคลือบฟิล์มแป้งถัวเจียวดัดแปรมีความสามารถในการด้านการเจาะมากกว่ากระดาษเคลือบฟิล์มแป้งถัวเจียวดัดแปรที่เดิมชอร์บิทอล 30 % และกระดาษเคลือบฟิล์มแป้งถัวเจียวดัดแปรที่เดิมกลีเซอรอล 10 % ตามลำดับ (ภาพที่ 22) ซึ่งสอดคล้องกับความสามารถในการด้านทานการเจาะของฟิล์มแป้งถัวเจียวดัดแปรที่เดิมและไม่เดิมสารเพิ่มความยืดหยุ่นที่พบว่าแรงด้านทานการเจาะของฟิล์มแป้งถัวเจียวดัดแปร มีค่าสูงกว่าฟิล์มแป้งถัวเจียวดัดแปรที่เดิมชอร์บิทอล 30 % และฟิล์มแป้งถัวเจียวดัดแปรที่เดิมกลีเซอรอล 10 % ตามลำดับ



ภาพที่ 21 ความสัมพันธ์ระหว่างความหนาของกระดาษเคลือบแป้งถั่วเขียวคัดแปรที่เพิ่มขึ้นเมื่อนำหักของแป้งถั่วเขียวคัดแปรเท่านี้ที่ใช้เคลือบกระดาษเพิ่มขึ้น (AMS คือ แป้งถั่วเขียวคัดแปร, Gly คือ กลีเซอรอล และ Sor คือ ซอร์บิทอล) แต่ละค่าแสดงในรูปของค่าเฉลี่ย ± ส่วนเบี่ยงเบนมาตรฐานค่าละ 3 ตัวอย่าง

อย่างไรก็ตามนอกจากปริมาณสารที่ใช้แล้ว ความเข้มข้นและชนิดของโพลิเมอร์ที่นำมาใช้เคลือบก็เป็นปัจจัยที่มีผลต่อความหนาของกระดาษ (Rhim et al., 2006; Gastaldi et al., 2007)

#### 4.2 ความสามารถในการต้านทานการเจาะของกระดาษเคลือบพิล์มแป้งถั่วเขียวคัดแปร

ผลการศึกษาพบว่าค่าการต้านทานแรงเจาะของกระดาษที่ไม่เคลือบ เท่ากับ  $7.16 \pm 0.14$  Mpa และค่าการต้านทานแรงเจาะของกระดาษที่เคลือบด้วยพลาสติก เท่ากับ  $7.86 \pm 0.17$  Mpa โดยค่าการต้านทานแรงเจาะของกระดาษเคลือบพิล์มแป้งถั่วเขียวคัดแปรแสดงในตารางที่ 11

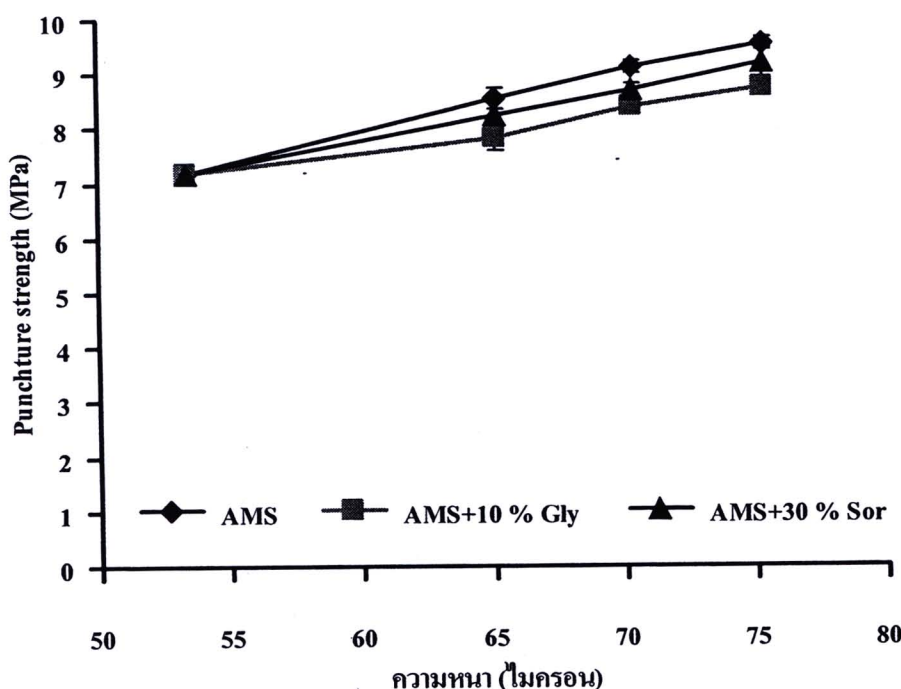
กระดาษที่ไม่เคลือมนิมความสามารถในการต้านทานการเจาะแตกต่างจากกระดาษเคลือบด้วยพิล์มพลาสติกและกระดาษเคลือบพิล์มแป้งถั่วเขียวคัดแปรที่เติมและไม่เติมสารเพิ่มความยืดหยุ่นอย่างมีนัยสำคัญทางสถิติ ( $p \leq 0.05$ ) กล่าวคือกระดาษเคลือบด้วยพลาสติกมีความสามารถในการต้านทานการเจาะมากกว่ากระดาษที่ไม่เคลือบ แต่กระดาษเคลือบด้วยพิล์มพลาสติกมีความสามารถในการต้านทานการเจาะใกล้เคียงกับกระดาษเคลือบพิล์มแป้งถั่วเขียวคัดแปรที่เติมกลีเซอรอล 10 % ความหนา 65 ไมครอน สำหรับกระดาษเคลือบพิล์มแป้งถั่วเขียวคัดแปรที่เติมและไม่เติมสารเพิ่มความยืดหยุ่นที่ความหนาระดับเดียวกันพบว่ากระดาษเคลือบพิล์มแป้งถั่วเขียวคัดแปรมีความสามารถในการต้านทานเจาะมากกว่ากระดาษเคลือบพิล์มแป้งถั่วเขียวคัดแปรที่เติมชอร์บิทอล 30 % และกระดาษเคลือบพิล์มแป้งถั่วเขียวคัดแปรที่เติมกลีเซอรอล 10 % ตามลำดับ (ภาพที่ 22) ซึ่งสอดคล้องกับความสามารถในการต้านทานการเจาะของพิล์มแป้งถั่วเขียวคัดแปร มีค่าสูงกว่าพิล์มแป้งถั่วเขียวคัดแปรที่เติมชอร์บิทอล 30 % และพิล์มแป้งถั่วเขียวคัดแปรที่เติมกลีเซอรอล 10 % ตามลำดับ

ตารางที่ 11 ค่าการด้านการเจาะของกระดาษเคลือบฟิล์มเป็นถั่วเขียวคัตแปรที่ไม่เติมสารเพิ่มความยืดหยุ่น กระดาษเคลือบฟิล์มเป็นถั่วเขียวคัตแปรที่เติมกลีเซอรอล 10 % และกระดาษเคลือบฟิล์มเป็นถั่วเขียวคัตแปรที่เติมซอร์บิทอล 30 % ที่ความหนาต่างกัน 3 ระดับ (AMS คือ แป้งถั่วเขียวคัตแปร, Gly คือ กลีเซอรอล และ Sor คือ ซอร์บิทอล)

ชนิดของกระดาษ	ค่าการด้านทานแรงเจาะของกระดาษเคลือบ (MPa)		
	ความหนา 65 $\mu\text{m}$	ความหนา 70 $\mu\text{m}$	ความหนา 75 $\mu\text{m}$
กระดาษเคลือบ AMS	8.56 $\pm$ 0.19	9.12 $\pm$ 0.12	9.54 $\pm$ 0.13
กระดาษเคลือบ AMS+10 % Gly	7.82 $\pm$ 0.22	8.39 $\pm$ 0.16	8.74 $\pm$ 0.03
กระดาษเคลือบ AMS+30 % Sor	8.24 $\pm$ 0.36	8.68 $\pm$ 0.12	9.19 $\pm$ 0.26

แต่ละค่าแสดงในรูปของค่าเฉลี่ย  $\pm$  ส่วนเบี่ยงเบนมาตรฐานค่าละ 3 ตัวอย่าง

การที่ความสามารถในการด้านทานการเจาะของกระดาษเคลือบฟิล์มเป็นถั่วเขียวคัตแปรสูงกว่ากระดาษที่ไม่เคลือบ เนื่องจากการเคลือบกระดาษสารกระจาดตัวเป็นถั่วเขียวคัตแปรเมื่อเทียบจะเป็นฟิล์มปีครูพูนของกระดาษซึ่งเป็นโครงสร้างของเส้นใยเซลลูโลส ปริมาณของแข็งที่เคลือบนกระดาษและการเพิ่มความหนาของการเคลือบฟิล์มทำให้กระดาษความมีความแข็งแรงเพิ่มสูงขึ้น (Morsy and Sherbiny, 2004)



ภาพที่ 22 การด้านแรงเจาะของกระดาษเคลือบฟิล์มเป็นถั่วเขียวคัตแปรที่ไม่เติมสารเพิ่มความยืดหยุ่น กระดาษเคลือบฟิล์มเป็นถั่วเขียวคัตแปรที่เติมกลีเซอรอล 10 % และกระดาษเคลือบฟิล์มเป็นถั่วเขียวคัตแปรที่เติมซอร์บิทอล 30 % ที่ความหนาต่างกัน 3 ระดับ (AMS คือ แป้งถั่วเขียวคัตแปร, Gly คือ กลีเซอรอล และ Sor คือ ซอร์บิทอล) แต่ละค่าแสดงในรูปของค่าเฉลี่ย  $\pm$  ส่วนเบี่ยงเบนมาตรฐานค่าละ 3 ตัวอย่าง

การเพิ่มปริมาณสารกระจาดตัวที่ใช้เคลือบทำให้ปริมาณของแป้งถั่วเขียวคัดแปรที่เคลือบบนกระดาษเพิ่มขึ้นส่งผลให้กระดาษเคลือบฟิล์มแป้งถั่วเขียวคัดแปรมีความหนาและความแข็งแรงเพิ่มสูงขึ้นทุกสภาพ โดยกระดาษเคลือบฟิล์มแป้งถั่วเขียวคัดแปรและกระดาษเคลือบฟิล์มแป้งถั่วเขียวคัดแปรที่เติมกลีเซอรอล 10 % ความหนา 65 ไมครอน มีค่าการต้านทานแรงเจาะน้อยกว่าที่ความหนา 70 และ 75 ไมครอน อ่ายนัยสำคัญทางสถิติ ( $p \leq 0.05$ ) สำหรับกระดาษเคลือบฟิล์มแป้งถั่วเขียวคัดแปรที่เติมชอร์บิทอล 30 % ความหนา 65 และ 70 ไมครอน มีค่าการต้านทานแรงเจาะน้อยกว่าความหนาระดับ 75 ไมครอน อ่ายนัยสำคัญทางสถิติ ( $p \leq 0.05$ )

สอดคล้องกับผลการศึกษาของ Park และคณะ (2000) ที่พบว่า isolated soy protein การเคลือบกระดาษทำให้กระดาษมีความแข็งแรงเพิ่มขึ้น และคล้ายคลึงกับ Morsy และ Sherbiny (2004) ที่ศึกษาผลของการเคลือบกระดาษโดยใช้เคลย์ (clay) และ ground calcium carbonate (GCC) ต่อคุณสมบัติเชิงกลของกระดาษ โดยพบว่าการเพิ่มปริมาณของแป้งที่เคลือบบนกระดาษและการเพิ่มความหนาของการเคลือบฟิล์มทำให้ความแข็งแรงของกระดาษเพิ่มสูงขึ้น

นอกจากนี้ยังคล้ายคลึงกับ Fernandes, Freire, Silvestre, Neto และ Gandini (2010) ที่ศึกษากระดาษเคลือบด้วยไคลโตชาน์และ water soluble chitosan quaternary derivative (WSCH) โดยทำการเคลือบกระดาษแตกต่างกัน 1 - 5 ชั้น พบว่าทั้งการเพิ่มปริมาณสารที่ใช้เคลือบและจำนวนชั้นของการเคลือบที่เพิ่มขึ้นทำให้กระดาษเคลือบไคลโตชานและกระดาษเคลือบ WSCH แข็งแรงขึ้น

อย่างไรก็ตามการที่ฟิล์มแป้งถั่วเขียวคัดแปรเคลือบอยู่บนกระดาษซึ่งมีโครงสร้างเป็นเส้นใยเซลลูโลสที่มีความแข็งแรงแต่น้อยกว่าแป้งถั่วเขียวคัดแปร นอกจากนี้ยังมีแรงขีดเคาะระหว่าง 2 พันธะ คือ แป้งถั่วเขียวคัดแปรและเส้นใยเซลลูโลสในกระดาษ และยังมีความหนาน้อยกว่าฟิล์ม อาจทำให้ความสามารถในการต้านทานการเจาะของกระดาษเคลือบฟิล์มแป้งถั่วเขียวคัดแปรต่ำกว่าฟิล์มแป้งถั่วเขียวคัดแปร

#### 4.3 ความสามารถในการยึดของกระดาษเคลือบฟิล์มแป้งถั่วเขียวคัดแปร

ผลการศึกษาพบว่าค่าความสามารถในการยึดของกระดาษที่ไม่เคลือบและกระดาษที่เคลือบด้วยฟิล์มพลาสติก เท่ากับ  $1.37 \pm 0.12\%$  และ  $1.75 \pm 0.12\%$  ตามลำดับ และค่าความสามารถในการยึดของกระดาษเคลือบฟิล์มแป้งถั่วเขียวคัดแปรแสดงในตารางที่ 12

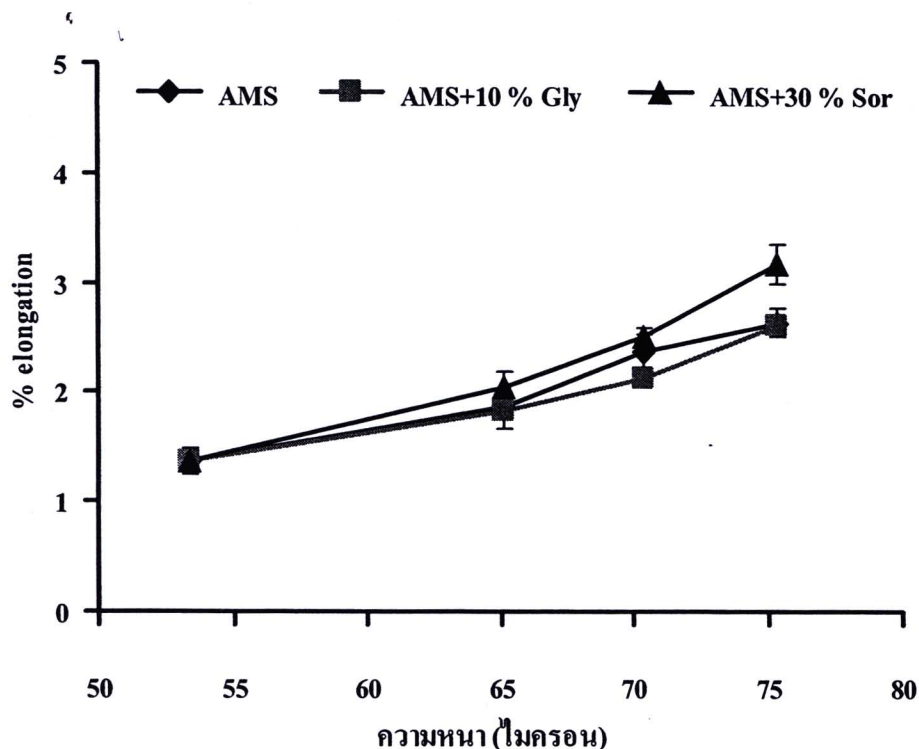
ตารางที่ 12 ความสามารถในการยึดของกระดาษเคลือบฟิล์มแป้งถั่วเขียวคัดแปรที่ไม่เติมสารเพิ่มความยืดหยุ่น กระดาษเคลือบฟิล์มแป้งถั่วเขียวคัดแปรที่เติมกลีเซอรอล 10 % และกระดาษเคลือบฟิล์มแป้งถั่วเขียวคัดแปรที่เติมชอร์บิทอล 30 % ที่ความหนาต่างกัน 3 ระดับ (AMS คือ แป้งถั่วเขียวคัดแปร, Gly คือ กลีเซอรอล และ Sor คือ ชอร์บิทอล)

ชนิดของกระดาษเคลือบ	ความสามารถในการยึด (%)		
	ความหนา 65 $\mu\text{m}$	ความหนา 70 $\mu\text{m}$	ความหนา 75 $\mu\text{m}$
กระดาษเคลือบ AMS	$1.87 \pm 0.12$	$2.36 \pm 0.17$	$2.64 \pm 0.13$
กระดาษเคลือบ AMS+10%Gly	$1.82 \pm 0.16$	$2.13 \pm 0.07$	$2.62 \pm 0.02$
กระดาษเคลือบ AMS+30%Sor	$2.04 \pm 0.15$	$2.52 \pm 0.07$	$3.18 \pm 0.18$

แต่ละค่าแสดงในรูปของค่าเฉลี่ย  $\pm$  ส่วนเบี่ยงเบนมาตรฐานค่าละ 3 ตัวอย่าง

โดยกระดายที่ไม่เคลือบมีความสามารถในการยึดติดต่างจากกระดายที่เคลือบด้วยพิล์มพลาสติกและกระดายเคลือบพิล์มแป้งถั่วเขียวดัดแปรที่เติมและไม่เติมสารเพิ่มความยืดหยุ่นอย่างมีนัยสำคัญทางสถิติ ( $p \leq 0.05$ ) กระดายเคลือบด้วยพิล์มพลาสติกมีความสามารถในการยึดมากกว่ากระดายที่ไม่เคลือบ แต่กระดายเคลือบพิล์มพลาสติกมีความสามารถในการยึดใกล้เคียงกับกระดายเคลือบพิล์มแป้งถั่วเขียวดัดแปร และกระดายเคลือบพิล์มแป้งถั่วเขียวดัดแปรที่เติมน้ำเชื้อรอด 10 % ที่ความหนา 65 ไมครอน

การเพิ่มระดับความหนาของการเคลือบกระดายทำให้ความสามารถในการยึดเพิ่มขึ้น (ภาพที่ 23) อาจเนื่องเด็นไนเซลลูโลสในกระดายมีลักษณะแข็ง ไม่ยืดหยุ่น (Fernandes et al., 2010). ชั้นการเคลือบสารกระจาดตัวแป้งถั่วเขียวดัดแปรจะเป็นพิล์มเคลือบปีรูพูนซึ่งเป็นโครงสร้างของเด็นไนเซลลูโลส ส่งเสริมให้ความยืดหยุ่นระหว่างเด็นไนเซลลูโลสในกระดายเพิ่มขึ้น (Guillaume et al., 2010; Park et al., 2000; Rhim et al., 2006; Sothornvit, 2009; Fernandes et al., 2010) จึงทำให้ความสามารถในการยึดของกระดายเพิ่มสูงขึ้น



ภาพที่ 23 ความสามารถในการยึดของกระดายเคลือบพิล์มแป้งถั่วเขียวดัดแปรที่ไม่เติมสารเพิ่มความยืดหยุ่น กระดายเคลือบพิล์มแป้งถั่วเขียวดัดแปรที่เติมน้ำเชื้อรอด 10 % และกระดายเคลือบพิล์มแป้งถั่วเขียวดัดแปรที่เติมชอร์บิทอล 30 % ที่ความหนาต่างกัน 3 ระดับ (AMS คือ แป้งถั่วเขียวดัดแปร, Gly คือ กลีเชื้อรอด และ Sor คือ ชอร์บิทอล) แต่ละค่าแสดงในรูปของค่าเฉลี่ย ± ส่วนเบี่ยงเบนมาตรฐานค่าละ 3 ตัวอย่าง

กระดายเคลือบพิล์มแป้งถั่วเขียวดัดแปรที่ระดับความหนา 65 ไมครอน และ 70 ไมครอน มีความสามารถในการยึดของกระดายเคลือบพิล์มแป้งถั่วเขียวดัดแปร กระดายเคลือบพิล์มแป้งถั่วเขียวดัดแปรที่เติมน้ำเชื้อรอด 10 % และกระดายเคลือบพิล์มแป้งถั่วเขียวดัดแปร ที่เติมชอร์บิทอล 30 % ไม่แตกต่างกันอย่างมีนัยสำคัญทางสถิติ ( $p > 0.05$ ) อาจเนื่องจากความสามารถในการยึดของกระดายเคลือบพิล์มแป้งถั่วเขียวดัดแปรทั้ง 2 ระดับ มีค่าใกล้เคียงกันทำให้ไม่มีผลต่อ

ความสามารถในการยึดของกระดายเคลือบฟิล์มแป้งถั่วเขียวคัดแปรทั้ง 3 ชนิด เห็นเดียวกับการศึกษาของ Park และคณะ (2000) ที่พบว่ากระดายเคลือบด้วย isolate soy protein ที่ระดับความหนาต่างกันคือ 10.9 - 23.0  $\mu\text{m}$  มีค่าความสามารถในการยึดเท่ากัน 5.8 - 6.9 % ซึ่งไม่แตกต่างกันทางสถิติ

สำหรับกระดายเคลือบฟิล์มแป้งถั่วเขียวคัดแปรที่เติมชอร์บิทอล 30 % ความหนา 75  $\mu\text{m}$  ไมครอน มีความสามารถในการยึดมากกว่ากระดายเคลือบฟิล์มแป้งถั่วเขียวคัดแปร และกระดายเคลือบฟิล์มแป้งถั่วเขียวคัดแปรที่เติมกลีเซอรอล 10 % อย่างมีนัยสำคัญทางสถิติ ( $p < 0.05$ ) อาจเนื่องจากความหนาของฟิล์มแป้งถั่วเขียวคัดแปรที่เพิ่มขึ้นทำให้กระดายเคลือบฟิล์มแป้งถั่วเขียวคัดแปรที่เติมชอร์บิทอล 30 % มีความสามารถในการยึดสูงกว่ากระดายเคลือบฟิล์มแป้งถั่วเขียวคัดแปร และกระดายเคลือบฟิล์มแป้งถั่วเขียวคัดแปรที่เติมกลีเซอรอล 10 % สอดคล้องกับความสามารถในการยึดของฟิล์มแป้งถั่วเขียวคัดแปรที่เติมและไม่เติมสารเพิ่มความชื้น ซึ่งฟิล์มแป้งถั่วเขียวคัดแปรที่เติมชอร์บิทอล 30 % มีความสามารถในการยึดมากกว่าฟิล์มแป้งถั่วเขียวคัดแปรที่เติมกลีเซอรอล 10 % และฟิล์มแป้งถั่วเขียวคัดแปรที่ไม่มีสารเพิ่มความชื้น

อย่างไรก็ตามการที่ฟิล์มแป้งถั่วเขียวคัดแปรเคลือบอยู่บนกระดายซึ่งเป็นโครงสร้างของเส้นใยเซลลูโลส ที่มีลักษณะแข็ง ไม่ยืดหยุ่น นอกจานนี้ยังมีแรงยึดเกาะระหว่าง 2 พันธะ คือ แป้งถั่วเขียวคัดแปรและเส้นใยเซลลูโลสในกระดาย และมีความหนาน้อยกว่าฟิล์มแป้งถั่วเขียวคัดแปร อาจทำให้ความสามารถในการยึดของกระดายเคลือบฟิล์มแป้งถั่วเขียวคัดแปรต่ำกว่าฟิล์มแป้งถั่วเขียวคัดแปร

#### 4.4 การซึมผ่านไอน้ำของกระดายเคลือบฟิล์มแป้งถั่วเขียวคัดแปร

ผลการศึกษาพบว่ากระดายที่ไม่เคลือบมีการซึมผ่านไอน้ำเท่ากัน  $0.239 \pm 0.002 \text{ g.mm/m}^2.\text{day.kPa}$  กระดายเคลือบพลาสติกไม่มีการซึมผ่านไอน้ำ และการซึมผ่านไอน้ำของกระดายเคลือบฟิล์มแป้งถั่วเขียวคัดแปรแสดงในตารางที่ 13

ตารางที่ 13 การซึมผ่านไอน้ำของกระดายเคลือบฟิล์มแป้งถั่วเขียวคัดแปรที่ไม่เติมสารเพิ่มความชื้น กระดายเคลือบฟิล์มแป้งถั่วเขียวคัดแปรที่เติมกลีเซอรอล 10 % และกระดายเคลือบฟิล์มแป้งถั่วเขียวคัดแปรที่เติมชอร์บิทอล 30 % ที่ความหนาต่างกัน 3 ระดับ (AMS คือ แป้งถั่วเขียวคัดแปร, Gly คือ กลีเซอรอล และ Sor คือ ชอร์บิทอล)

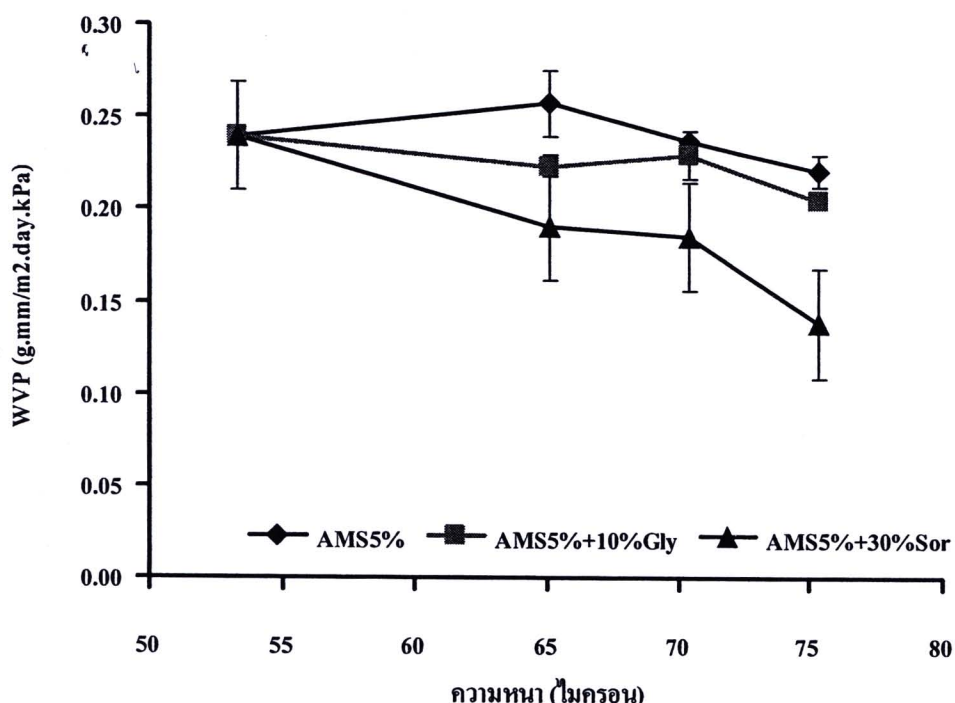
กระดาย	ค่าการซึมผ่านไอน้ำ ( $\text{g.mm/m}^2.\text{day.kPa}$ )		
	ความหนา 65 $\mu\text{m}$	ความหนา 70 $\mu\text{m}$	ความหนา 75 $\mu\text{m}$
กระดายเคลือบAMS	$0.257 \pm 0.018$	$0.237 \pm 0.001$	$0.211 \pm 0.009$
กระดายเคลือบAMS+10 % Gly	$0.224 \pm 0.006$	$0.230 \pm 0.001$	$0.204 \pm 0.003$
กระดายเคลือบAMS+30 % Sor	$0.191 \pm 0.029$	$0.185 \pm 0.017$	$0.138 \pm 0.015$

แต่ละค่าแสดงในรูปของค่าเฉลี่ย  $\pm$  ส่วนเบี่ยงเบนมาตรฐานค่าละ 3 ตัวอย่าง

การซึมผ่านไอน้ำของกระดายเคลือบฟิล์มแป้งถั่วเขียวคัดแปร ในแต่ละระดับความหนาพบว่ากระดายไม่เคลือบฟิล์มนักการซึมผ่านไอน้ำไม่แตกต่างจากกระดายเคลือบฟิล์มแป้งถั่วเขียวคัดแปรและกระดายเคลือบฟิล์มแป้งถั่วเขียวคัดแปรที่เติมกลีเซอรอล 10 % อย่างมีนัยสำคัญทางสถิติ ( $p > 0.05$ ) แต่แตกต่างจากกระดายเคลือบฟิล์มแป้งถั่วเขียวคัดแปรที่เติมชอร์บิทอล 30 % อย่างมีนัยสำคัญทางสถิติ ( $p \leq 0.05$ ) ซึ่งสารกระจาดทั้งแป้งถั่วเขียวคัดแปรที่ใช้เคลือบเป็น

ฟิล์มน้ำของกระดาษ มีผิวเรียบและสามารถปิดช่องรูรั่วทำให้ลดการซึมผ่านไอน้ำของกระดาษได้ (Han and Krochta, 2001 ข้างจาก Han and Krochta, 1999) ซึ่งคล้ายกับผลการศึกษาของ Sothornvit (2009) ที่พบว่ากระดาษที่เคลือบด้วย HPMC และ HPMC - lipid มีการซึมผ่านไอน้ำลดลงเมื่อเปรียบเทียบกับกระดาษที่ไม่ได้เคลือบ นอกจากนี้การซึมผ่านไอน้ำของกระดาษด้านที่เคลือบและด้านที่ไม่เคลือบฟิล์มไม่มีความแตกต่างกัน เนื่องจากสารละลายที่ใช้เคลือบสามารถแทรกเข้าไปในโครงสร้างเซลลูโลสของกระดาษได้ ทำให้การเคลือบกระดาษเพียงด้านเดียวที่ทำให้มีคุณสมบัติด้านการซึมผ่านของไอน้ำได้

ค่าการซึมผ่านไอน้ำของกระดาษเคลือบฟิล์มแป้งถั่วเจียวดัดแปร กระดาษเคลือบฟิล์มแป้งถั่วเจียวดัดแปรที่เติมกลีเซอรอล 10 % และกระดาษเคลือบฟิล์มแป้งถั่วเจียวดัดแปรที่เติมชอร์บิทอล 30 % มีแนวโน้มลดลงเมื่อระดับความหนาของการเคลือบเพิ่มขึ้น ดังแสดงในภาพที่ 24



ภาพที่ 24 การซึมผ่านไอน้ำของกระดาษเคลือบฟิล์มแป้งถั่วเจียวดัดแปรที่ไม่เติมสารเพิ่มความยืดหยุ่น กระดาษเคลือบฟิล์มแป้งถั่วเจียวดัดแปรที่เติมกลีเซอรอล 10 % และกระดาษเคลือบฟิล์มแป้งถั่วเจียวดัดแปรที่เติมชอร์บิทอล 30 % ที่ความหนาต่างกัน 3 ระดับ (AMS คือ แป้งถั่วเจียวดัดแปร, Gly คือ กลีเซอรอล และ Sor คือ ชอร์บิทอล) แต่ละค่าแสดงในรูปของค่าเฉลี่ย ± ส่วนเบี่ยงเบนมาตรฐานค่าละ 3 ตัวอย่าง

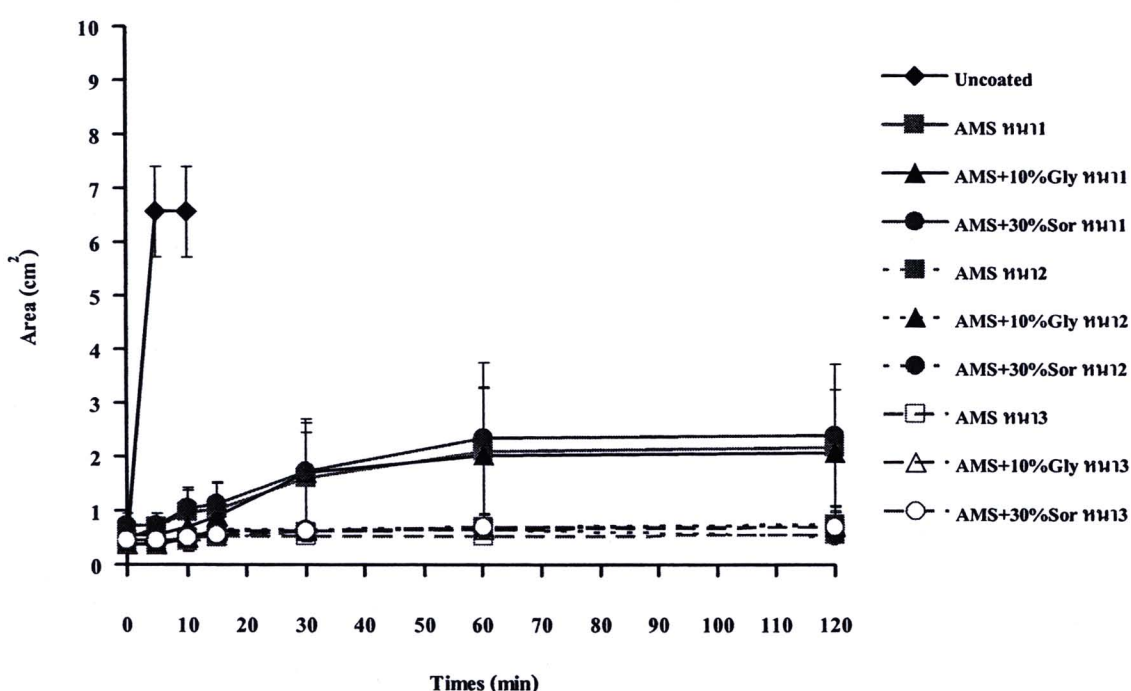
เนื่องจากการใช้ปริมาณสารกระจาบตัวในการเคลือบมากกว่าทำให้มีปริมาณของแข็งบนผิวกระดาษมากกว่าเมื่อนำไปอบจนแห้งจึงเหลือปริมาณของแข็งต่อพื้นที่มากกว่าทำให้แทรกปิดช่องรูรั่วของกระดาษได้ดีกว่า ผิวของกระดาษเคลือบจึงเรียบมากกว่า โดยคล้ายคลึงกับผลการศึกษาของ Han และ Krochta (2001) ที่ใช้ whey - protein ความเข้มข้น 10 % ปริมาณ  $10.2 \text{ g/m}^2$  และ  $17.9 \text{ g/m}^2$  เคลือบกระดาษ พบร่วมกันว่าผิวของกระดาษที่เคลือบด้วยสารละลาย whey - protein  $17.9 \text{ g/m}^2$  มีความเรียบกว่าเป็นอย่างมาก ซึ่งปริมาณที่ใช้ไม่ใช่ปัจจัยเดียวที่มีผลต่อการซึมผ่านไอน้ำของ

กระดาย เนื่องจากชนิดของไบโอดอลิเมอร์ การเตรียมและวิธีเคลือบต่างก็มีผลต่อการซึมผ่านไอน้ำของกระดายเคลือบ เช่นกัน โดยวัสดุที่นำมาเคลือบเป็นปัจจัยที่มีผลต่อการซึมผ่านไอน้ำของกระดายเคลือบมากที่สุด (Rhim et al., 2006)

การเคลือบกระดายด้วยฟิล์มแป้งถั่วเขียวคัดแปร ที่ความหนาระดับเดียวกันพบว่าการซึมผ่านไอน้ำของกระดายเคลือบฟิล์มแป้งถั่วเขียวคัดแปรที่เติมชอร์บิทอล 30 % มีค่าน้อยกว่ากระดายเคลือบฟิล์มแป้งถั่วเขียวคัดแปร และกระดายเคลือบฟิล์มแป้งถั่วเขียวคัดแปรที่เติมกลีเซอรอล 10 % ซึ่งสอดคล้องกับผลการศึกษาความสามารถในการซึมผ่านไอน้ำของแผ่นฟิล์มที่พบว่าฟิล์มแป้งถั่วเขียวคัดแปรที่เติมชอร์บิทอล 30 % มีค่าการซึมผ่านไอน้ำน้อยกว่าฟิล์มแป้งถั่วเขียวคัดแปรที่เติมกลีเซอรอล 10 %

#### 4.5 การต้านการซึมผ่านน้ำของกระดายเคลือบฟิล์มแป้งถั่วเขียวคัดแปร

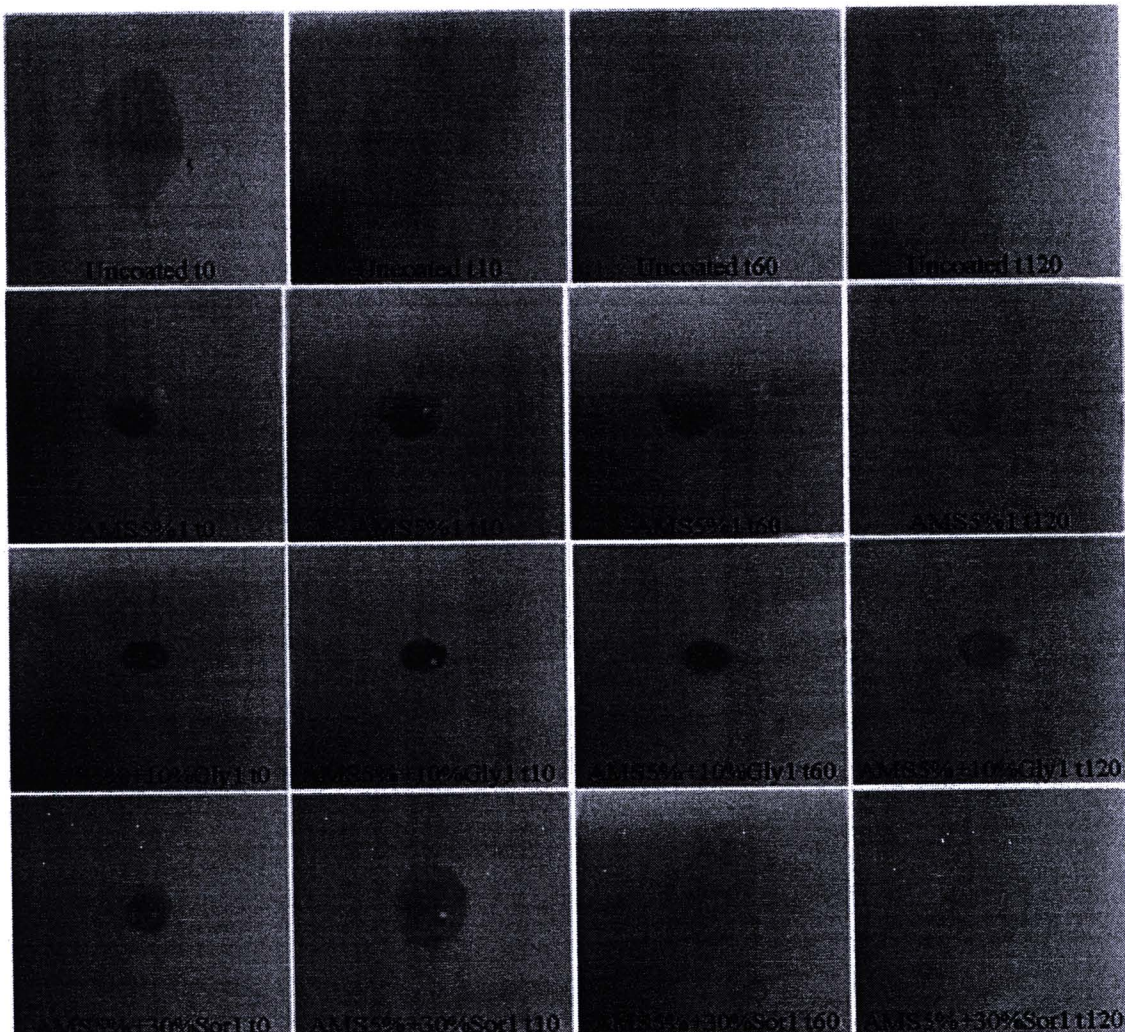
ผลการศึกษาการต้านการซึมผ่านน้ำของกระดายเคลือบฟิล์มแป้งถั่วเขียวคัดแปร พบว่ากระดายไม่เคลือบ มีความสามารถในการต้านการซึมผ่านน้ำแตกต่างจากกระดายเคลือบฟิล์มแป้งถั่วเขียวคัดแปร กระดายเคลือบฟิล์มแป้งถั่วเขียวคัดแปรที่เติมกลีเซอรอล 10 % และกระดายเคลือบฟิล์มแป้งถั่วเขียวคัดแปรที่เติมชอร์บิทอล 30 % (ภาพที่ 25) โดยมีพื้นที่การแพร่กระจายของน้ำสีที่ซึมผ่านกระดายที่ไม่เคลือบแตกต่างกับกระดายเคลือบฟิล์มแป้งถั่วเขียวคัดแปรทุกสูตร อย่างมีนัยสำคัญทางสถิติทุกระดับความหนา ( $p \leq 0.05$ )



ความหนา 1, 2 และ 3 เท่ากับ 65, 70 และ 75 ไมครอน ตามลำดับ

ภาพที่ 25 ที่แสดงถึงการแพร่กระจายของน้ำบนกระดายที่ไม่เคลือบ กระดายเคลือบฟิล์มแป้งถั่วเขียวคัดแปรที่ไม่เติมสารเพิ่ม ความยืดหยุ่น กระดายเคลือบฟิล์มแป้งถั่วเขียวคัดแปรที่เติมกลีเซอรอล 10 % และกระดายเคลือบฟิล์มแป้งถั่วเขียวคัดแปรที่เติมชอร์บิทอล 30 % ที่ความหนา 1, 2 และ 3 (65, 70 และ 75 ไมครอน ตามลำดับ) และที่เวลา 0 – 120 นาที (AMS คือ แป้งถั่วเขียวคัดแปร, Gly คือ กลีเซอรอล และ Sor คือ ชอร์บิทอล) แต่ละค่าแสดงในรูปของค่าเฉลี่ย ± ส่วนเบี่ยงเบนมาตรฐานค่าละ 3 ตัวอย่าง

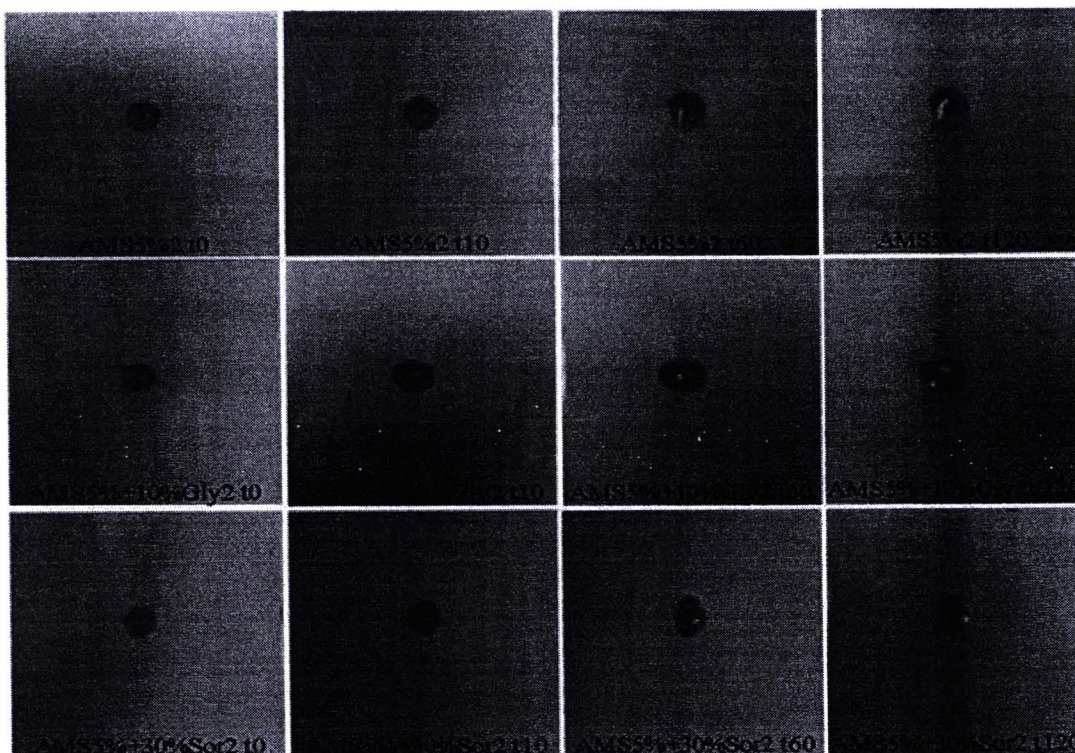
กระดายเคลือบพิล์มแป้งถั่วเขียวดัดแปร กระดายเคลือบพิล์มแป้งถั่วเขียวดัดแปรที่เติมกลีเซอรอล 10 % และกระดายเคลือบพิล์มแป้งถั่วเขียวดัดแปรที่เติมชอร์บิทอล 30 % ที่ระดับความหนาเดียวกันมีความสามารถในการด้านการซึมผ่านน้ำไม่แตกต่างกัน โดยกระดายไม่เคลือบน้ำสามารถซึมผ่านได้ทันทีและมีพื้นที่การแพร่กระจายของน้ำที่เวลาเริ่มต้นถึง 10 นาที เท่ากับ  $0.44 \pm 0.06 - 6.57 \pm 0.84 \text{ cm}^2$  แล้วระเหยหมดไปเมื่อเวลา  $13.67 \pm 0.58$  นาที ส่วนกระดายที่เคลือบพิล์มแป้งถั่วเขียวดัดแปรทั้ง 3 ชนิด ที่ความหนา 65 ไมครอน น้ำสามารถซึมผ่านได้แต่พื้นที่การแพร่กระจายของน้ำที่ซึมผ่านกระดายน้อยกว่ากระดายที่ไม่เคลือบ ในขณะที่กระดายที่เคลือบพิล์มแป้งถั่วเขียวดัดแปรทั้ง 3 ชนิด ที่ความหนา 70 และ 75 ไมครอน น้ำไม่สามารถซึมผ่านกระดายได้



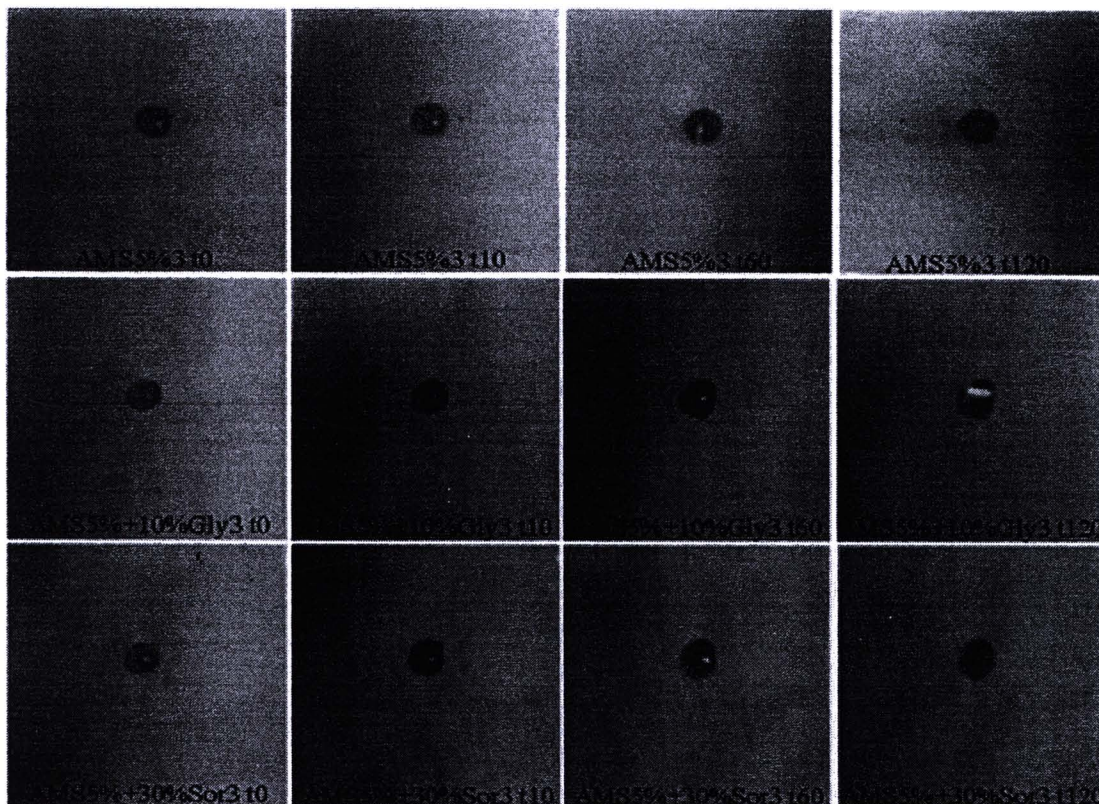
ภาพที่ 26 การแพร่กระจายของน้ำที่ซึมผ่านกระดายเคลือบพิล์มแป้งถั่วเขียวดัดแปรที่ไม่เติมสารเพิ่มความชื้น กระดายเคลือบพิล์มแป้งถั่วเขียวดัดแปรที่เติมกลีเซอรอล 10 % และกระดายเคลือบพิล์มแป้งถั่วเขียวดัดแปรที่เติมชอร์บิทอล 30 % ที่ความหนา 1 (65 ไมครอน) เวลาที่ 0, 10, 60 และ 120 นาที (AMS คือ แป้งถั่วเขียวดัดแปร, Gly คือ กลีเซอรอล และ Sor คือ ชอร์บิทอล)

ภาพที่ 26 แสดงพื้นที่การแพร่กระจายของอน้ำที่ซึมผ่านกระดาษเคลือบพิล์มเป็นถ่วงเขียวตัดแปร กระดาษเคลือบพิล์มเป็นถ่วงเขียวตัดแปรที่เติมกลีเซอรอล 10 % และกระดาษเคลือบพิล์มเป็นถ่วงเขียวตัดแปรที่เติมซอร์บิทอล 30 % ที่ความหนา 65 ไมครอน เมื่อหยดน้ำลงบนกระดาษเคลือบ น้ำมีลักษณะเป็นหยดบนกระดาษเคลือบแต่ค่อนข้างซึมผ่านกระดาษ และแพร่กระจายอย่างช้าๆ โดยมีพื้นที่การแพร่กระจายของอน้ำที่ซึมผ่านกระดาษเพิ่มขึ้นเมื่อเวลาเพิ่มขึ้น เกิดจากการที่น้ำแพร่ผ่านรูรั่วเล็กๆ รอบเดก ของกระดาษที่เคลือบ ไม่น้ำเงาม (Park et al., 2000) ซึ่งกระดาษที่เคลือบมีพื้นที่การแพร่กระจายของน้ำระหว่างเวลาเริ่มต้น เท่ากับ  $0.46 \pm 0.07 - 2.17 \pm 1.09 \text{ cm}^2$ ,  $0.42 \pm 0.07 - 2.07 \pm 1.17 \text{ cm}^2$  และ  $0.48 \pm 0.04 - 2.41 \pm 1.31 \text{ cm}^2$  ตามลำดับ และระหว่างหน่วงค่าไปที่เวลา  $113 \pm 46$ ,  $114 \pm 41$  และ  $113 \pm 42$  นาที ส่วนกระดาษที่เคลือบพิล์มเป็นถ่วงเขียวตัดแปรทั้ง 3 ชนิด ที่ความหนา 70 และ 75 ไมครอน น้ำไม่สามารถซึมผ่านกระดาษได้

กระดายเคลือบฟิล์มแป้งถั่วเขียวคัดแปร กระดายเคลือบฟิล์มแป้งถั่วเขียวคัดแปรที่เติมกลีเซอรอล 10 % และกระดายเคลือบฟิล์มแป้งถั่วเขียวคัดแปรที่เติมชอร์บิทอล 30 % ที่ความหนา 70 ไมครอน น้ำจะซึมเข้าไปในกระดายเคลือบอย่างช้าๆ โดยแป้งถั่วเขียวคัดแปรที่เคลือบบนกระดายจะดูดซับน้ำไว้ ทำให้น้ำไม่สามารถซึมผ่านทะลุไปได้ โดยกระดายเคลือบฟิล์มแป้งถั่วเขียวคัดแปร กระดายเคลือบฟิล์มแป้งถั่วเขียวคัดแปรที่เติมกลีเซอรอล 10 % และกระดายเคลือบฟิล์มแป้งถั่วเขียวคัดแปรที่เติมชอร์บิทอล 30 % มีพื้นที่ของน้ำบนกระดายที่เวลา 120 นาที เท่ากับ  $0.75 \pm 0.23$ ,  $0.73 \pm 0.08$  และ  $0.52 \pm 0.32 \text{ cm}^2$  ตามลำดับ และระเหยจนแห้งหมดไปเมื่อเวลาผ่านไป  $160 \pm 35$ ,  $179 \pm 12$  และ  $155 \pm 32$  นาที ตามลำดับ (ภาพที่ 27)



ภาพที่ 27 การแพร่กระจายของน้ำบนกระดาษเคลือบฟิล์มเป็นถั่วเขียวคัดแพร์ที่ไม่เติมสารเพิ่มความยืดหยุ่น กระดาษเคลือบฟิล์มเป็นถั่วเขียวคัดแพร์ที่เติมกลีเซอรอล 10 % และกระดาษเคลือบฟิล์มเป็นถั่วเขียวคัดแพร์ที่เติมซอร์บิทอล 30 % ที่ความหนา 2 (70 ไมครอน) เวลาที่ 0, 10, 60 และ 120 นาที (AMS คือ แป้งถั่วเขียวคัดแพร์, Gly คือ กลีเซอรอล และ Sor คือ ซอร์บิทอล)



ภาพที่ 28 การแพร่กระจายของน้ำบนกระดาษเคลือบฟิล์มเป็นถั่วเขียวคัดแปรที่ไม่เติมสารเพิ่มความยืดหยุ่น กระดาษเคลือบฟิล์มเป็นถั่วเขียวคัดแปรที่เติมกลีเซอรอล 10 % และกระดาษเคลือบฟิล์มเป็นถั่วเขียวคัดแปรที่เติมซอร์บิทอล 30 % ที่ความหนา 3 (75 ไมครอน) เวลาที่ 0, 10, 60 และ 120 นาที (AMS คือ แป้งถั่วเขียวคัดแปร, Gly คือ กลีเซอรอล และ Sor คือ ซอร์บิทอล)

เข่นเดียวกับกระดาษเคลือบฟิล์มเป็นถั่วเขียวคัดแปร กระดาษเคลือบฟิล์มเป็นถั่วเขียวคัดแปรที่เติมกลีเซอรอล 10 % และกระดาษเคลือบฟิล์มเป็นถั่วเขียวคัดแปรที่เติมซอร์บิทอล 30 % ความหนา 75 ไมครอน ที่น้ำไม่ซึมผ่านกระดาษ โดยมีพื้นที่ของน้ำบนกระดาษที่เวลา 120 นาที เท่ากับ  $0.55 \pm 0.08$ ,  $0.69 \pm 0.16$  และ  $0.70 \pm 0.30 \text{ cm}^2$  ตามลำดับ (ภาพที่ 28) และน้ำระเหยหมดไปเมื่อเวลาผ่านไป  $159 \pm 18$ ,  $167 \pm 16$  และ  $165 \pm 19$  นาที ตามลำดับ (ภาพที่ 28) ซึ่งการที่น้ำมีระยะเวลาการระเหยเพิ่มขึ้นอาจเกิดจากฟิล์มเป็นถั่วเขียวคัดแปรที่เคลือบบนกระดาษมีการดูดซับน้ำไว้ และพื้นที่ผิวของน้ำที่สัมผัสถกับอากาศน้อยน้ำจึงต้องคงอยู่ พร้อมกันที่ผิวเดิมจึงจะระเหยออกสู่บรรยากาศได้

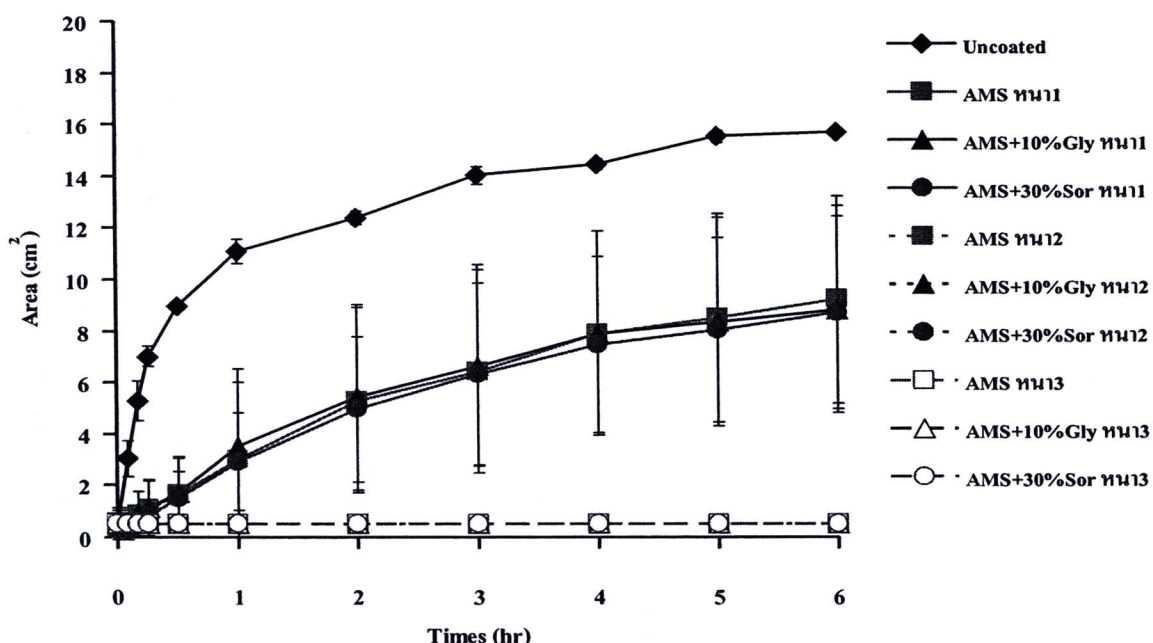
อย่างไรก็ตามการที่น้ำสามารถซึมผ่านกระดาษเนื่องจากกระดาษประกอบด้วยเส้นใยเซลลูโลสและมีลักษณะเป็นรูพรุนซึ่งทำให้กระดาษมีคุณสมบัติดูดซับน้ำ (Kjellgren et al., 2006) และการดูดซับน้ำจะเพิ่มขึ้นเมื่อเวลาผ่านไปมากขึ้น แต่การเคลือบกระดาษด้วยฟิล์มเป็นถั่วเขียวคัดแปร สามารถลดการซึมผ่านของน้ำได้เนื่องจากฟิล์มเป็นถั่วเขียวคัดแปร มีการละลายน้ำค่อนข้างต่ำ เมื่อเครื่องมือเป็นฟิล์มจึงมีการดูดซับและละลายน้ำได้น้อย เมื่อน้ำสารกระจาดตัวเป็นถั่วเขียวคัดแปร มาเคลือบกระดาษทำให้สารกระจาดตัวเป็นถั่วเขียวคัดแปรมีลักษณะเป็นฟิล์มปีกຽวนของกระดาษ ลดการซึมผ่านของน้ำได้ นอกจากนี้ความหนาของการเคลือบกระดาษที่เพิ่มขึ้นทำให้ช่วยลดการซึมผ่านของน้ำอีกด้วย สอดคล้องกับการซึมผ่านไอน้ำของกระดาษเคลือบฟิล์มเป็นถั่วเขียวคัดแปร มีแนวโน้มลดลงเมื่อระดับความหนาของการเคลือบเพิ่มขึ้น

ซึ่งคล้ายกับการศึกษาของ Guillaume และคณะ (2010) ที่พบว่ากระดาษเคลือบ wheat gluten มีความสามารถในการเปียกคล่องเมื่อเปรียบเทียบกับกระดาษไม่เคลือบ โดยมีการดูดซึมน้ำของกระดาษเคลือบและกระดาษไม่เคลือบมีค่าน้อยกว่า  $0.001 \text{ ml s}^{-1}$  และเท่ากับ  $0.07 \pm 0.02 \text{ ml s}^{-1}$  ตามลำดับ และมีการแพร่กระจายของน้ำของกระดาษเคลือบและกระดาษไม่เคลือบมีค่าน้อยกว่า  $0.001 \text{ mm s}^{-1}$  และเท่ากับ  $0.06 \pm 0.02 \text{ mm s}^{-1}$  ตามลำดับ เนื่องจากมีความชอบน้ำมากกว่า นอกจากนี้กระดาษเคลือบ wheat gluten มีความหนา  $154.0 \pm 2.7 \text{ } \mu\text{m}$  ในครอง แต่กระดาษไม่เคลือบมีความหนา  $73.5 \pm 4.0 \text{ } \mu\text{m}$  ในครอง จึงทำให้กระดาษเคลือบมีการซึมผ่านของน้ำน้อยกว่า

นอกจากนี้ Kjellgren และคณะ (2006) ได้ศึกษากระดาษเคลือบด้วยไก่โตชานพบว่าไก่โตชานเป็นปัจจัยหนึ่งที่มีผลต่อการดูดซึมน้ำของกระดาษ โดยกระดาษชนิดที่มีการดูดซึมน้ำน้อย ( $25 \text{ g/m}^2$ ) เมื่อเคลือบด้วยไก่โตชานทำให้การดูดซึมน้ำเพิ่มขึ้นเป็น  $30 \text{ g/m}^2$  เนื่องจากการดูดซึมน้ำของไก่โตชานมีมากกว่าการดูดซึมน้ำของเซลลูโลสในกระดาษ แต่การเคลือบบนกระดาษชนิดที่มีการดูดซึมน้ำสูง ( $40 - 50 \text{ g/m}^2$ ) ด้วยไก่โตชานทำให้กระดาษมีการดูดซึมน้ำลดลงเหลือ  $30 \text{ g/m}^2$  เนื่องจากไก่โตชานเข้าไปอุดรูพรุนของกระดาษลดการดูดซึมน้ำที่เกิดจากรูพรุนซึ่งมีมากกว่าการดูดซึมน้ำของไก่โตชาน ดังนั้นการเลือกใบโพลิเมอร์มาเป็นวัสดุเคลือบกระดาษและวิธีการคัดแปลงที่เหมาะสมสามารถทำให้กระดาษมีคุณสมบัติ้านการซึมผ่านของน้ำได้ (Rhim et al., 2006)

#### 4.6 การต้านการซึมผ่านน้ำมันของกระดาษเคลือบฟิล์มแป้งถั่วเจียวดัดแปร

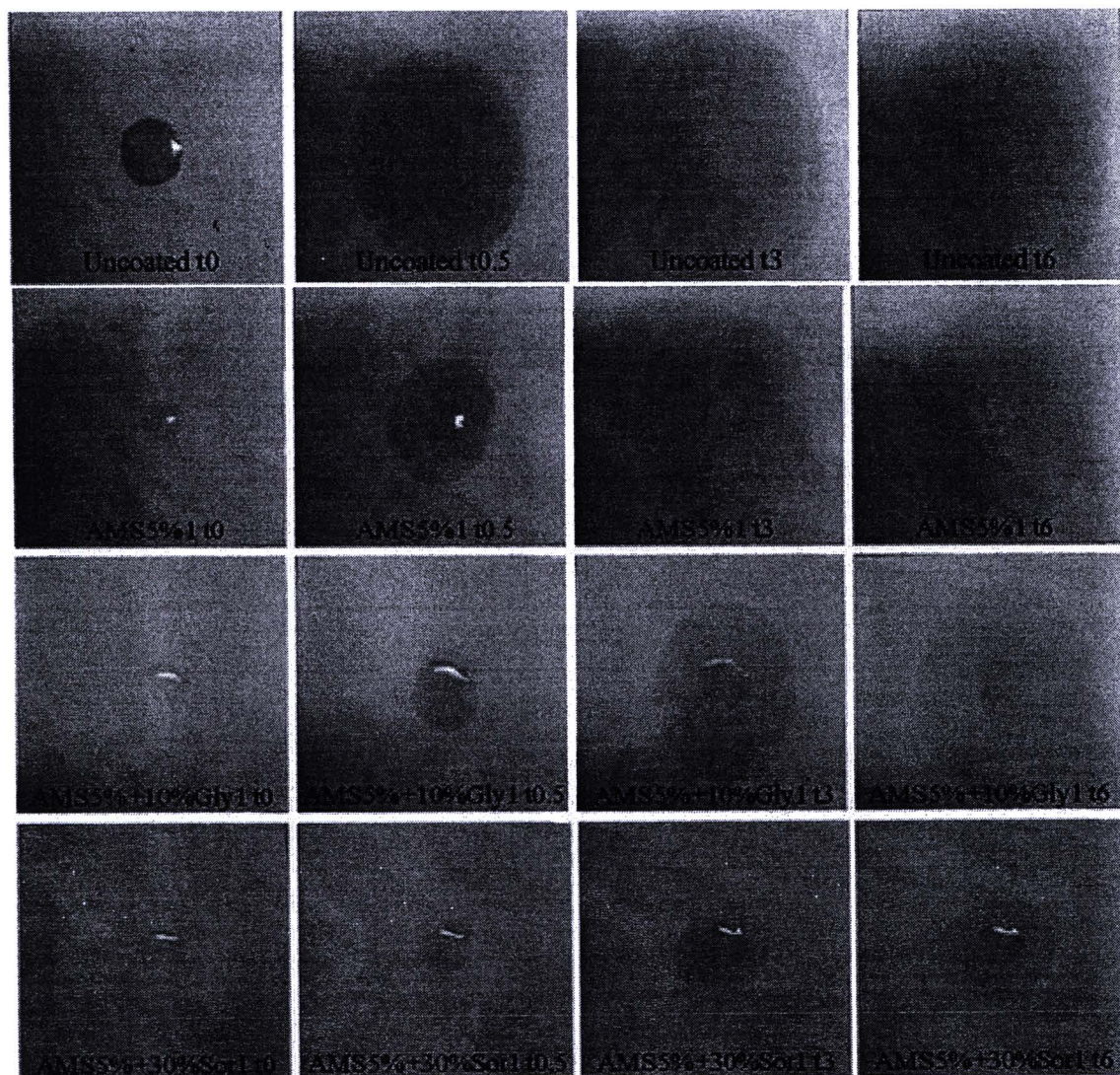
ผลการศึกษาการต้านการซึมผ่านน้ำมันของกระดาษที่ไม่เคลือบและกระดาษเคลือบฟิล์มแป้งถั่วเจียวดัดแปรแสดงในภาพที่ 29



ความหนา 1, 2 และ 3 เท่ากับ 65, 70 และ 75 ไมโครอน ตามลำดับ

ภาพที่ 29 พื้นที่การแพร่กระจายของน้ำมันบนกระดาษเคลือบที่ไม่เคลือบ กระดาษเคลือบฟิล์มแป้งถั่วเจียวดัดแปรที่ไม่เคลือบเพิ่มความยืดหยุ่น กระดาษเคลือบฟิล์มแป้งถั่วเจียวดัดแปรที่เคลือกลีเซอรอล 10 % และกระดาษเคลือบฟิล์มแป้งถั่วเจียวดัดแปรที่เคลือชอร์บิทอล 30 % ที่ความหนา 1, 2 และ 3 (65, 70 และ 75 ไมโครอน ตามลำดับ) และที่เวลา 0 – 6 ชั่วโมง แต่ละค่าแสดงในรูปของค่าเฉลี่ย ± ส่วนเบี่ยงเบนมาตรฐานค่าละ 3 ตัวอย่าง

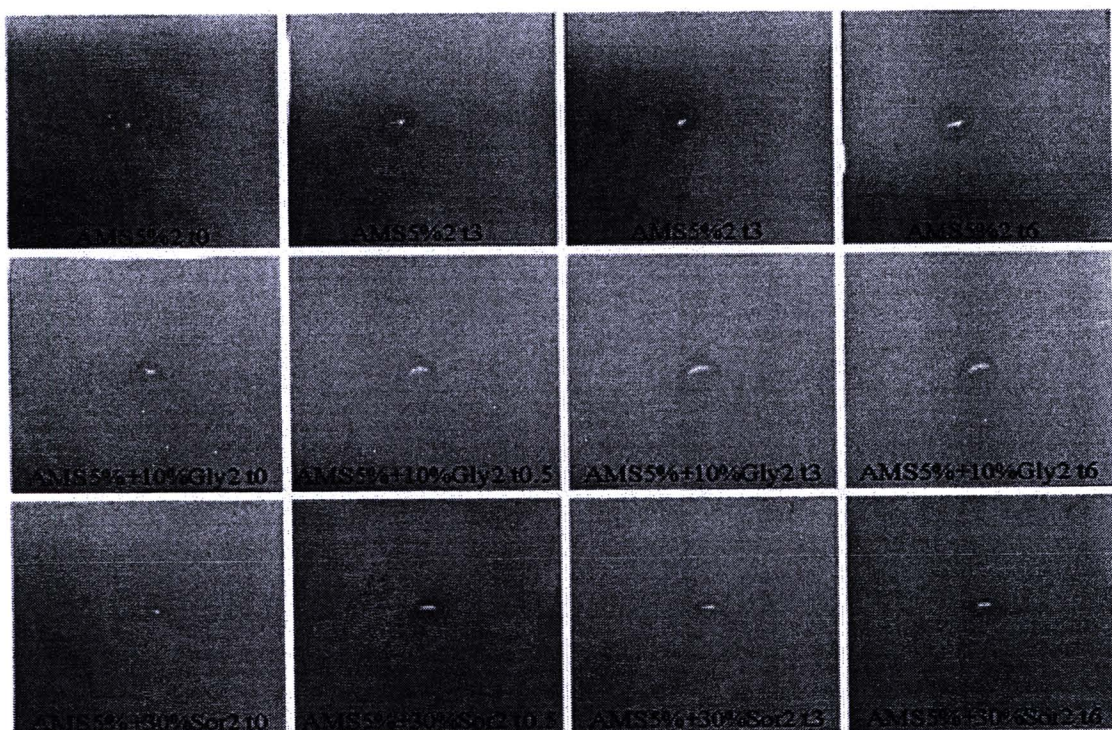
พบว่ากระดายไม่เคลือบมีความสามารถในการต้านการซึมผ่านน้ำมันแตกต่างจากกระดายเคลือบฟิล์มแบ่งถ่วงเขียวดัดแปร กระดายเคลือบฟิล์มแบ่งถ่วงเขียวดัดแปรที่เติมกลีเซอรอล 10 % และกระดายเคลือบฟิล์มแบ่งถ่วงเขียวดัดแปรที่เติมชอร์บิทอล 30 % โดยมีพื้นที่การแพร่กระจายของน้ำที่ซึมผ่านกระดายแตกต่างกันอย่างมีนัยสำคัญทางสถิติทุกรอบควบคุมหนา ( $p \leq 0.05$ ) โดยกระดายไม่เคลือบน้ำมันสามารถซึมผ่านได้ทันทีและมีพื้นที่การแพร่กระจายของน้ำมันที่เวลา 5 นาที และ 6 ชั่วโมง เท่ากับ  $2.99 \pm 0.68$  และ  $15.71 \pm 0.00 \text{ cm}^2$  ตามลำดับ เนื่องจากกระดายไม่เคลือบไม่มีคุณสมบัติกันการซึมผ่านน้ำมัน (Han and Krochta, 2001)



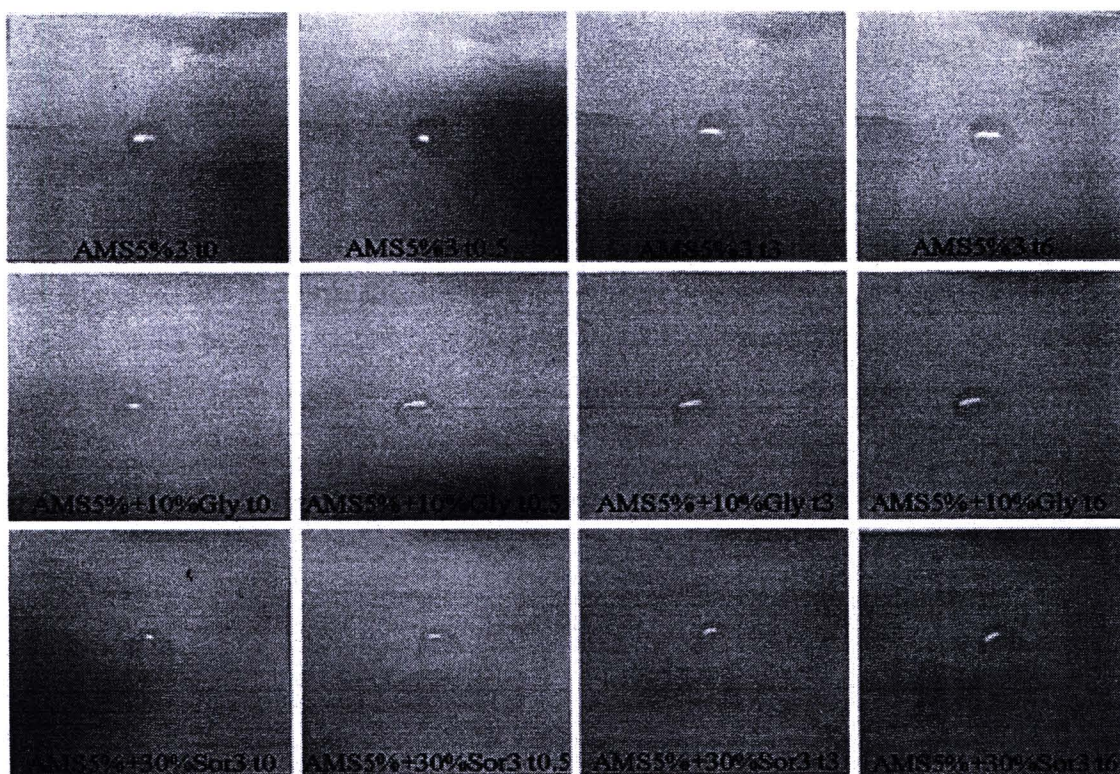
ภาพที่ 30 การแพร่กระจายของน้ำมันที่ซึมผ่านกระดายเคลือบฟิล์มแบ่งถ่วงเขียวดัดแปรที่ไม่เติมสารเพิ่มความยืดหยุ่นกระดายเคลือบฟิล์มแบ่งถ่วงเขียวดัดแปรที่เติมกลีเซอรอล 10 % และกระดายเคลือบฟิล์มแบ่งถ่วงเขียวดัดแปรที่เติมชอร์บิทอล 30 % ความหนาระดับที่ 1 (65 ไมครอน) ที่เวลา 0, 0.5, 3 และ 6 ชั่วโมง เปรียบเทียบกับกระดายที่ไม่เคลือบ (AMS คือ แบ่งถ่วงเขียวดัดแปร, Gly คือ กลีเซอรอล และ Sor คือ ชอร์บิทอล)

จากภาพที่ 30 น้ำมันสามารถซึมผ่านกระดาษเคลือบฟิล์มเป็นถ้วนที่ขึ้วคัตแปร กระดาษเคลือบฟิล์มเป็นถ้วนที่ขึ้วคัตแปรที่เติมกลีเซอรอล 10 % และกระดาษเคลือบฟิล์มเป็นถ้วนที่ขึ้วคัตแปรที่เติมชอร์บิทอล 30 % ความหนา 65 ไมครอน ได้ โดยมีพื้นที่การแพร่กระจายของน้ำมันที่เวลา 5 นาที เท่ากับ  $0.57 \pm 0.57 \text{ cm}^2$ ,  $0.48 \pm 0.64 \text{ cm}^2$  และ  $0.25 \pm 0.24 \text{ cm}^2$  ตามลำดับ และที่เวลา 6 ชั่วโมงมีพื้นที่เท่ากับ  $9.20 \pm 4.03 \text{ cm}^2$ ,  $8.82 \pm 3.89 \text{ cm}^2$  และ  $8.71 \pm 3.73 \text{ cm}^2$  ตามลำดับ ซึ่งพื้นที่การแพร่กระจายของน้ำมันเพิ่มขึ้นเมื่อเวลาเพิ่มขึ้น เกิดจากการที่น้ำมันแพร่ผ่านรูเด็กๆ รอยแตกของกระดาษที่เคลือบไม่สม่ำเสมอ (Park et al., 2000) เนื่องจากสารกระจายตัวเป็นถ้วนที่ขึ้วคัตแปร ที่นำมาเคลือบกระดาษมีปริมาณน้อยเกินไป

แต่เมื่อใช้ปริมาณสารละลายน้ำมากขึ้นผิวของกระดาษเคลือบจะเรียบขึ้น (Han and Krochta, 2001 ข้างจาก Han and Krochta, 1999) ทำให้การด้านทานการซึมผ่านน้ำมันเพิ่มขึ้น โดยน้ำมันไม่สามารถซึมผ่านกระดาษกระดาษเคลือบฟิล์มเป็นถ้วนที่ขึ้วคัตแปร กระดาษเคลือบฟิล์มเป็นถ้วนที่ขึ้วคัตแปรที่เติมกลีเซอรอล 10% และกระดาษเคลือบฟิล์มเป็นถ้วนที่ขึ้วคัตแปรที่เติมชอร์บิทอล 30% ความหนา 70 และ 75 ไมครอน ได้ เมื่อจากสารกระจายตัวเป็นถ้วนที่ขึ้วคัตแปร มีปริมาณมากพอเมื่อนำมาเคลือบกระดาษ ทำให้สามารถปิดรูพรุนของกระดาษ ได้ (Guillaume et al., 2010) โดยกระดาษเคลือบฟิล์มเป็นถ้วนที่ขึ้วคัตแปรที่ไม่เติมสารเพิ่มความยืดหยุ่น กระดาษเคลือบฟิล์มเป็นถ้วนที่ขึ้วคัตแปรที่เติมกลีเซอรอล 10 % และกระดาษเคลือบฟิล์มเป็นถ้วนที่ขึ้วคัตแปรที่เติมชอร์บิทอล 30 % ความหนา 70 ไมครอน มีพื้นที่น้ำมันบนกระดาษที่เวลา 6 ชั่วโมง ไม่แตกต่างกัน ( $p>0.05$ ) (ภาพที่ 31)



ภาพที่ 31 การแพร่กระจายของน้ำมันบนกระดาษเคลือบฟิล์มเป็นถ้วนที่ขึ้วคัตแปรที่ไม่เติมสารเพิ่มความยืดหยุ่น กระดาษเคลือบฟิล์มเป็นถ้วนที่ขึ้วคัตแปรที่เติมกลีเซอรอล 10 % และกระดาษเคลือบฟิล์มเป็นถ้วนที่ขึ้วคัตแปรที่เติมชอร์บิทอล 30 % ความหนาจะดับที่ 2 (70 ไมครอน) ที่เวลา 0, 0.5, 3 และ 6 ชั่วโมง (AMS คือ เป็นถ้วนที่ขึ้วคัตแปร, Gly คือ กลีเซอรอล และ Sor คือ ชอร์บิทอล)



ภาพที่ 32 การแพร่กระจายของน้ำมันที่ซึมผ่านกระดาษเคลือบฟิล์มแป้งถั่วเจียวดัดแปรที่ไม่เติมสารเพิ่มความยืดหยุ่น กระดาษเคลือบฟิล์มแป้งถั่วเจียวดัดแปรที่เติมกลีเซอรอล 10 % และกระดาษเคลือบฟิล์มแป้งถั่วเจียวดัดแปรที่เติม ชอร์บิทอล 30 % ความหนาระดับที่ 3 (75 ไมครอน) ที่เวลา 0, 0.5, 3 และ 6 ชั่วโมง (AMS คือ แป้งถั่วเจียวดัดแปร, Gly คือ กลีเซอรอล และ Sor คือ ชอร์บิทอล)

เข่นเดียวกับกระดาษเคลือบฟิล์มแป้งถั่วเจียวดัดแปรความหนา 75 ไมครอน ที่มีพื้นที่น้ำมันบนกระดาษที่เวลา 6 ชั่วโมง ของกระดาษทั้ง 3 ชนิด ไม่แตกต่างกัน ( $p>0.05$ ) (ภาพที่ 32) โดยกระดาษเคลือบฟิล์มแป้งถั่วเจียวดัด แปรที่มีความหนา 70 และ 75 ไมครอน ทั้ง 3 ชนิด น้ำมันไม่สามารถซึมผ่านได้เป็นเวลานากกว่า 72 ชั่วโมง

คล้ายคลึงกับผลการศึกษาของ Kjellgren และคณะ (2006) ที่พบว่าการด้านทานการซึมผ่านน้ำมันของ กระดาษที่เคลือบไคโตชาณเพิ่มขึ้นเมื่อปริมาณสารที่ใช้เคลือบเพิ่มขึ้น และผลการศึกษาของ Butkinaree, Jinkarn และ Yoksan (2008) พบร่วมกับ hydrophobic starch เคลือบกระดาษเบ็งพบร่วมทำให้การซึมผ่านน้ำมันลดลงจาก  $75.66 \text{ g/m}^2$  เป็น  $28.8 - 36.62 \text{ g/m}^2$  นอกจากนี้ Guillaume และคณะ (2010) ยังพบว่ากระดาษเคลือบ wheat gluten มีคุณสมบัติ ด้านทานการซึมผ่านน้ำมันเพิ่มขึ้นเมื่อการเคลือบกระดาษมีความหนาเพียงพอที่สามารถปิดโครงสร้างที่เป็นรูพรุนของ กระดาษที่เคลือบ

นอกจากนี้ Park และคณะ (2000) ได้ศึกษาการเคลือบกระดาษ isolated soy protein (ISP) เปรียบเทียบกับ กระดาษเคลือบ polyethylene พบร่วมกับกระดาษที่เคลือบด้วย ISP น้ำมันไม่ซึมผ่านใน 2 ชั่วโมงแรก โดยกระดาษที่เคลือบ ด้วย ISP มีพื้นที่ทราบน้ำมันน้อยกว่ากระดาษเคลือบ polyethylene ซึ่งอาจเกิดจากการใช้ความร้อนในกระบวนการ เคลือบกระดาษด้วย polyethylene อาจทำให้เกิดรูเล็กๆ รอยแตก ความไม่สม่ำเสมอของกระดาษเคลือบ ซึ่งเป็นสาเหตุ ทำให้บางครั้งกระดาษที่เคลือบด้วยกระบวนการต่างกัน มีคุณสมบัติต่างกัน นอกจากนี้การใช้สารเพิ่มความยืดหยุ่นคือ

กลีเซอรอลและ PEG 400 (NF grade) อัตราส่วน 50: 50 w/w ทำให้ผิวของกระดายมีความเรียบมากกว่า แยกออกจากกระดายจ่ายกว่าและด้านการซึมผ่านน้ำมันได้ดีกว่ากระดายที่ไม่เคลือบ โดยกระดายเคลือบ ISP ที่ไม่ใช้สารเพิ่มความยืดหยุ่นมีพื้นที่ของคราบน้ำมันสูงกว่ากระดายเคลือบ ISP ที่ใช้สารเพิ่มความยืดหยุ่น 0.2, 0.6 และ 1.0 g/g ของ ISP ตามลำดับ